

Supplementary Material

Title: Comparison of Comprehensive Quantitative EEG (qEEG) Metrics Between Typically Developing Boys and Girls in Resting State Eyes-Open and Eyes-Closed Conditions.

Authors: Mo Modarres, David Cochran , David N. Kennedy , and Jean A. Frazier

Table S1. Comparison of Absolute Spectral Power (log10) between Boys and Girls during Eyes-Closed Condition.

		Significant Sex Factor				Significant Age Factor							
Eyes Closed		Absolute Spectral Power (log10)		ANOVA				Pearson Correlation with Age (%)					
		Boys		Girls		Factor: SEX		Factor: AGE		Boys		Girls	
EEG	Freq.	Mean ± Std	Mean ± Std			F	p	F	p	Corr. Coeff	p	Corr. Coeff	p
AF4	θ	2.3 ± 0.43	2.1 ± 0.39	1.41	0.24	2.82	0.0027	-36.6	0.00063	-53.8	6.6e-06		
	α1	2.1 ± 0.44	1.9 ± 0.4	0.972	0.33	2.34	0.012	-37.7	0.0004	-35.1	0.0052		
	β2	1.3 ± 0.36	1.2 ± 0.34	0.622	0.43	2.01	0.033	-17.6	0.11	-29.6	0.02		
FP2	β4	0.91 ± 0.42	0.85 ± 0.46	0.0169	0.9	2.01	0.033	-23.5	0.031	-16.4	0.2		
	γ1	0.74 ± 0.46	0.69 ± 0.48	0.0612	0.81	2.39	0.01	-27.8	0.01	-12.8	0.32		
	γ2	0.61 ± 0.49	0.56 ± 0.49	0.0823	0.77	2.5	0.0074	-27.4	0.012	-13.1	0.31		
	γ3	0.42 ± 0.5	0.39 ± 0.5	0.0991	0.75	2.18	0.02	-27.3	0.012	-10.1	0.44		
	γ4	0.29 ± 0.5	0.27 ± 0.5	0.12	0.73	2.05	0.029	-27.1	0.013	-11.7	0.37		
AF3	β2	1.4 ± 0.48	1.3 ± 0.38	0.995	0.32	2.18	0.02	-10.3	0.35	-9.2	0.48		
F3	θ	2.4 ± 0.57	2.1 ± 0.46	6.55	0.012	0.869	0.57	-20.6	0.06	-32.1	0.011		
	α2	2 ± 0.56	1.8 ± 0.42	6	0.016	0.552	0.86	0.697	0.95	-0.661	0.96		
	β1	1.6 ± 0.52	1.4 ± 0.4	4.94	0.028	0.699	0.74	-4.59	0.68	-15.3	0.23		
	β2	1.4 ± 0.52	1.2 ± 0.41	4.99	0.027	0.914	0.53	-1.28	0.91	-13.7	0.29		
	β3	1.3 ± 0.53	1 ± 0.42	6.7	0.011	0.885	0.56	0.446	0.97	-14.4	0.26		
	β4	1.1 ± 0.55	0.86 ± 0.42	5.48	0.021	0.908	0.53	-7.66	0.49	-21.2	0.098		
FC3	β2	1.4 ± 0.38	1.4 ± 0.37	0.026	0.87	2.15	0.022	-1.4	0.9	-5.65	0.66		
	β3	1.2 ± 0.38	1.2 ± 0.39	0.307	0.58	2.3	0.014	1.31	0.91	-5.45	0.67		
	β4	1 ± 0.41	0.99 ± 0.4	0.04	0.84	2.17	0.02	-9.61	0.38	-15.8	0.22		
	γ1	0.86 ± 0.45	0.81 ± 0.42	0.0041	0.95	2.42	0.0095	-10.7	0.33	-11.7	0.36		
	γ2	0.7 ± 0.48	0.65 ± 0.44	0.0686	0.79	2.28	0.015	-7.31	0.51	-11.1	0.39		
	γ4	0.37 ± 0.53	0.33 ± 0.47	0.126	0.72	2.1	0.025	-3.71	0.74	-10.7	0.41		
CP3	θ	2.7 ± 0.37	2.5 ± 0.41	6.92	0.0097	2.86	0.0023	-18.9	0.085	-34.2	0.0066		
	α1	2.7 ± 0.43	2.5 ± 0.47	5.6	0.02	3.23	0.00071	-14.9	0.18	-9.95	0.44		
	α2	2.5 ± 0.47	2.2 ± 0.44	13	0.00046	2	0.035	15.1	0.17	17.6	0.17		
	β1	1.9 ± 0.36	1.8 ± 0.39	4.98	0.027	2.25	0.016	9.42	0.39	-5.17	0.69		
	β2	1.7 ± 0.33	1.6 ± 0.4	4.23	0.042	2.51	0.0072	11.9	0.28	-5.78	0.66		
	β3	1.6 ± 0.35	1.4 ± 0.42	4.84	0.03	1.94	0.041	13.4	0.23	-6.75	0.6		
T9	θ	2.4 ± 0.48	2.3 ± 0.51	2.12	0.15	2.09	0.026	-32.3	0.0027	-33.8	0.0072		
	α1	2.3 ± 0.51	2.1 ± 0.55	2.11	0.15	2.84	0.0024	-26	0.017	-17.4	0.18		
	α2	2.1 ± 0.43	1.9 ± 0.5	5.69	0.019	1.98	0.036	-0.13	0.99	-2.44	0.85		
T7	δ	3.6 ± 0.42	3.5 ± 0.42	0.192	0.66	2.04	0.03	-46.4	8.8e-06	-27.1	0.033		
	θ	2.7 ± 0.35	2.5 ± 0.37	8.71	0.0038	3.22	0.00072	-36.1	0.00075	-30	0.018		
	α1	2.7 ± 0.42	2.4 ± 0.47	7.32	0.0078	2.7	0.0038	-25.8	0.018	-9.73	0.45		
	α2	2.5 ± 0.4	2.2 ± 0.44	18.3	3.8e-05	1.25	0.26	11.2	0.31	16.6	0.2		
	β1	1.9 ± 0.31	1.7 ± 0.35	8	0.0055	1.5	0.14	1.96	0.86	-0.405	0.98		
	β2	1.7 ± 0.29	1.6 ± 0.35	5.98	0.016	2.15	0.022	-4.21	0.7	-4.27	0.74		
	β3	1.5 ± 0.3	1.4 ± 0.36	5.39	0.022	1.78	0.065	-1.91	0.86	-2.82	0.83		
	β4	1.4 ± 0.33	1.2 ± 0.35	2.98	0.087	2.01	0.033	-18.6	0.091	-16.2	0.21		
	γ1	1.2 ± 0.37	1 ± 0.37	1.96	0.16	2.12	0.024	-23.1	0.035	-13.8	0.28		
	γ2	1 ± 0.4	0.85 ± 0.38	2.41	0.12	2.11	0.024	-19.5	0.075	-13.7	0.29		
	γ3	0.84 ± 0.46	0.66 ± 0.39	2.27	0.13	1.98	0.036	-22	0.045	-16	0.22		
	γ4	0.7 ± 0.46	0.53 ± 0.39	2.27	0.13	2.19	0.019	-23.7	0.03	-16.5	0.2		
Tp7	θ	2.7 ± 0.33	2.5 ± 0.41	9.27	0.0029	3.11	0.001	-36.7	0.00059	-38.8	0.0018		
	α1	2.7 ± 0.42	2.4 ± 0.49	6.65	0.011	2.9	0.002	-23.5	0.031	-8.74	0.5		
	α2	2.5 ± 0.43	2.2 ± 0.42	17	6.8e-05	1.8	0.062	8.27	0.45	17.1	0.18		
	β1	1.9 ± 0.31	1.7 ± 0.35	8.25	0.0048	1.93	0.042	0.323	0.98	-8.31	0.52		

	β_2	1.7 \pm 0.28	1.6 \pm 0.37	5.73	0.018	2.25	0.016	-4.18	0.71	-11.4	0.38
	β_3	1.6 \pm 0.27	1.4 \pm 0.37	6.6	0.011	1.56	0.12	-1.85	0.87	-11.5	0.37
P3	θ	2.8 \pm 0.36	2.5 \pm 0.44	9.51	0.0025	2.8	0.0028	-25.5	0.019	-37.7	0.0025
	α_1	2.9 \pm 0.45	2.6 \pm 0.54	6.56	0.012	2.69	0.004	-19.6	0.073	-16.9	0.19
	α_2	2.6 \pm 0.48	2.3 \pm 0.51	12.6	0.00057	1.35	0.21	13.9	0.21	6.58	0.61
	β_1	2 \pm 0.33	1.8 \pm 0.41	6.35	0.013	1.48	0.15	6.72	0.54	-14.3	0.27
	β_2	1.8 \pm 0.31	1.6 \pm 0.41	5.32	0.023	2.16	0.021	5.87	0.6	-16.1	0.21
	β_3	1.6 \pm 0.3	1.4 \pm 0.42	6.07	0.015	1.58	0.11	10.2	0.36	-14.9	0.25
TP9	δ	3.6 \pm 0.45	3.5 \pm 0.47	0.222	0.64	2.41	0.0096	-43.9	2.9e-05	-39.7	0.0014
	θ	2.8 \pm 0.39	2.6 \pm 0.44	5.85	0.017	3.94	6.9e-05	-34.8	0.0012	-34	0.0069
	α_1	2.8 \pm 0.49	2.6 \pm 0.53	5.87	0.017	3.14	0.00095	-20	0.067	-11.8	0.36
	α_2	2.6 \pm 0.48	2.3 \pm 0.51	13	0.00045	1.82	0.057	14.5	0.19	10.3	0.43
	β_1	2 \pm 0.37	1.8 \pm 0.4	5.89	0.017	2.03	0.031	-1.03	0.93	-9.06	0.48
	β_2	1.8 \pm 0.33	1.7 \pm 0.41	3.56	0.062	2.85	0.0024	-6.38	0.56	-11.5	0.37
PO7	δ	3.8 \pm 0.36	3.5 \pm 0.5	4.56	0.035	3.82	0.0001	-43.2	4.2e-05	-54.8	4e-06
	θ	3 \pm 0.36	2.6 \pm 0.52	14	0.00028	4.24	2.6e-05	-37.3	0.00047	-43.2	0.00045
	α_1	3.1 \pm 0.49	2.7 \pm 0.59	13.5	0.00037	3.07	0.0012	-21.9	0.045	-21.7	0.09
	α_2	2.9 \pm 0.48	2.5 \pm 0.56	21.1	1.1e-05	1.48	0.15	19.6	0.074	-0.297	0.98
	β_1	2.3 \pm 0.31	2 \pm 0.45	16.3	9.4e-05	1.94	0.04	1.68	0.88	-24.9	0.051
	β_2	2 \pm 0.29	1.8 \pm 0.44	11.6	0.00089	2.88	0.0022	-5.08	0.65	-24.7	0.053
	β_3	1.8 \pm 0.27	1.5 \pm 0.43	11.1	0.0012	2.11	0.024	2.84	0.8	-27.8	0.029
	β_4	1.6 \pm 0.26	1.3 \pm 0.44	7.67	0.0065	2.1	0.025	-16.1	0.14	-41.6	0.00078
	γ_1	1.4 \pm 0.28	1.1 \pm 0.44	6.62	0.011	2.14	0.022	-20.9	0.056	-41.3	0.00085
	γ_2	1.2 \pm 0.33	0.95 \pm 0.43	5.91	0.017	1.85	0.053	-18	0.1	-39.6	0.0015
	γ_3	0.97 \pm 0.38	0.74 \pm 0.44	5.69	0.019	1.75	0.07	-19.4	0.077	-40.6	0.0011
	γ_4	0.82 \pm 0.39	0.6 \pm 0.45	5.08	0.026	1.83	0.057	-19.2	0.08	-42.5	0.00058
	α_1	3.8 \pm 0.38	3.6 \pm 0.59	0.783	0.38	1.97	0.038	-39.7	0.00019	-40.9	0.00097
	α_2	3 \pm 0.37	2.7 \pm 0.53	10.6	0.0015	3.7	0.00015	-42.7	5e-05	-40.1	0.0012
O1	β_1	3.2 \pm 0.51	2.7 \pm 0.6	11.4	0.00098	3.33	0.0005	-27.1	0.013	-26.4	0.038
	β_2	3 \pm 0.49	2.5 \pm 0.58	19.5	2.3e-05	1.95	0.039	13.6	0.22	-2.87	0.82
	β_3	2.3 \pm 0.33	2 \pm 0.45	11.7	0.00087	1.92	0.043	-6.02	0.59	-22.8	0.074
	β_4	2.1 \pm 0.29	1.8 \pm 0.45	8.09	0.0052	2.63	0.0049	-11.7	0.29	-24.5	0.054
	γ_1	1.8 \pm 0.27	1.6 \pm 0.45	7.45	0.0073	1.3	0.23	-3.5	0.75	-21.7	0.091
	γ_2	1.6 \pm 0.26	1.5 \pm 0.41	22.1	7e-06	1.55	0.12	12.8	0.25	-27.6	0.03
	γ_3	1.4 \pm 0.25	1.3 \pm 0.4	16.5	8.6e-05	1.32	0.22	0.399	0.97	-39.7	0.0014
	γ_4	1.2 \pm 0.34	0.97 \pm 0.43	8.27	0.0048	1.1	0.36	-4.3	0.7	-36.9	0.0032
	α_1	1 \pm 0.4	0.77 \pm 0.46	6.48	0.012	1.19	0.3	-5.84	0.6	-35.6	0.0045
	α_2	0.88 \pm 0.42	0.63 \pm 0.46	5.84	0.017	1.25	0.26	-4.85	0.66	-36.5	0.0036
O2	α_1	3.8 \pm 0.35	3.5 \pm 0.5	9.96	0.002	2.68	0.0041	-37.7	0.0004	-53.8	6.5e-06
	α_2	3.1 \pm 0.34	2.7 \pm 0.47	27.4	7.4e-07	4.33	1.9e-05	-36	0.0008	-48.6	6.3e-05
	β_1	3.2 \pm 0.51	2.7 \pm 0.6	18.8	3.1e-05	2.93	0.0019	-19.9	0.07	-23.1	0.071
	β_2	3 \pm 0.5	2.5 \pm 0.55	30.3	2.1e-07	1.86	0.051	24.4	0.025	-1.82	0.89
	β_3	2.3 \pm 0.31	2 \pm 0.42	29.1	3.6e-07	1.96	0.039	3.15	0.78	-27.2	0.033
	β_4	2.1 \pm 0.27	1.8 \pm 0.42	22.7	5.5e-06	2.73	0.0036	0.167	0.99	-27.1	0.033
	γ_1	1.9 \pm 0.26	1.5 \pm 0.41	22.1	7e-06	1.55	0.12	12.8	0.25	-27.6	0.03
	γ_2	1.6 \pm 0.25	1.3 \pm 0.4	16.5	8.6e-05	1.32	0.22	0.399	0.97	-39.7	0.0014
	γ_3	1.4 \pm 0.28	1.1 \pm 0.42	14	0.00028	1.16	0.33	-5.78	0.6	-38.4	0.0021
	γ_4	1.2 \pm 0.34	0.97 \pm 0.43	8.27	0.0048	1.1	0.36	-4.3	0.7	-36.9	0.0032
	α_1	1 \pm 0.4	0.77 \pm 0.46	6.48	0.012	1.19	0.3	-5.84	0.6	-35.6	0.0045
	α_2	0.88 \pm 0.42	0.63 \pm 0.46	5.84	0.017	1.25	0.26	-4.85	0.66	-36.5	0.0036
PO8	α_1	3.7 \pm 0.35	3.4 \pm 0.5	18.5	3.5e-05	3.77	0.00012	-47.7	4.5e-06	-57.1	1.3e-06
	α_2	3 \pm 0.41	2.5 \pm 0.47	30.9	1.7e-07	5.19	1.2e-06	-43	4.5e-05	-51.8	1.6e-05
	β_1	3.1 \pm 0.57	2.6 \pm 0.59	18.6	3.3e-05	2.69	0.004	-24	0.028	-29.5	0.02
	β_2	2.9 \pm 0.53	2.4 \pm 0.54	29.8	2.6e-07	1.26	0.26	17.1	0.12	-6.1	0.64
	β_3	2.3 \pm 0.36	1.9 \pm 0.4	31.7	1.2e-07	2.2	0.019	-6.16	0.58	-34.1	0.0067
	β_4	2 \pm 0.32	1.7 \pm 0.4	28.1	5.3e-07	3.14	0.00095	-15.3	0.16	-35.2	0.005
	γ_1	1.8 \pm 0.28	1.4 \pm 0.39	28.9	3.8e-07	2.05	0.03	-5.67	0.61	-34.9	0.0055
	γ_2	1.5 \pm 0.28	1.2 \pm 0.4	23.9	3.2e-06	2.28	0.015	-21.2	0.052	-47.9	8.3e-05
	γ_3	1.4 \pm 0.29	1 \pm 0.4	24.8	2.1e-06	2.19	0.019	-22.6	0.039	-46.2	0.00016
	γ_4	1.2 \pm 0.34	0.84 \pm 0.43	17.3	6.1e-05	2.01	0.033	-19	0.084	-39.7	0.0014
	α_1	0.96 \pm 0.39	0.62 \pm 0.46	16.4	9.1e-05	2.21	0.018	-16.4	0.13	-36.1	0.0039
	α_2	0.83 \pm 0.41	0.5 \pm 0.46	15.4	0.00015	2.34	0.012	-16.2	0.14	-37.3	0.0028
P4	α_1	3.7 \pm 0.44	3.4 \pm 0.47	5.81	0.017	1.62	0.1	-36.2	0.00072	-40.4	0.0011
	α_2	2.9 \pm 0.34	2.5 \pm 0.46	23.2	4.4e-06	3.53	0.00026	-37.4	0.00045	-44.2	0.00033
	β_1	2.9 \pm 0.48	2.5 \pm 0.56	15.4	0.00014	2.55	0.0063	-22.4	0.04	-24	0.06
	β_2	2.7 \pm 0.46	2.3 \pm 0.52	25.8	1.4e-06	1.48	0.15	18.7	0.089	-2.42	0.85
	β_3	2.1 \pm 0.29	1.8 \pm 0.41	25.6	1.6e-06	2.01	0.033	-1.55	0.89	-25.2	0.048
	β_4	1.9 \pm 0.28	1.6 \pm 0.41	18	4.3e-05	2.23	0.017	-5.7	0.61	-27.9	0.028
	α_1	1.7 \pm 0.3	1.3 \pm 0.41	19.8	2e-05	1.39	0.19	3.51	0.75	-27.5	0.03
	α_2	1.4 \pm 0.31	1.2 \pm 0.41	13.5	0.00035	1.47	0.15	-10.8	0.33	-36.8	0.0033

	$\gamma 1$	1.2 ± 0.33	0.98 ± 0.43	10.6	0.0015	1.34	0.21	-16.4	0.14	-33.1	0.0086
	$\gamma 2$	1.1 ± 0.38	0.82 ± 0.46	6.75	0.011	1.34	0.21	-11.9	0.28	-31.3	0.013
CP4	θ	2.7 ± 0.36	2.4 ± 0.46	10.1	0.0019	2.79	0.0029	-39	0.00024	-41.1	0.00092
	$\alpha 1$	2.7 ± 0.46	2.4 ± 0.53	8.05	0.0053	2.22	0.017	-27.6	0.011	-19.5	0.13
	$\alpha 2$	2.4 ± 0.42	2.1 ± 0.47	17.7	5e-05	1.19	0.3	12.5	0.26	6.28	0.63
	$\beta 1$	1.9 ± 0.29	1.6 ± 0.43	10.4	0.0016	1.61	0.1	-6.47	0.56	-18.3	0.16
	$\beta 2$	1.7 ± 0.29	1.5 ± 0.44	6.69	0.011	1.79	0.062	-10.1	0.36	-22.2	0.083
	$\beta 3$	1.5 ± 0.3	1.2 ± 0.43	9.14	0.0031	1.16	0.32	-0.817	0.94	-23.5	0.066
	$\beta 4$	1.3 ± 0.33	1 ± 0.43	6.98	0.0094	1.07	0.39	-13.2	0.23	-34.5	0.006
	$\gamma 1$	1.1 ± 0.35	0.85 ± 0.46	5.47	0.021	1.06	0.4	-16.3	0.14	-33.1	0.0087
	$\gamma 2$	0.9 ± 0.4	0.69 ± 0.48	4.92	0.028	0.966	0.48	-10.8	0.33	-32.8	0.0092
TP10	δ	3.6 ± 0.34	3.4 ± 0.45	3.45	0.066	3.21	0.00075	-46	1.1e-05	-46.8	0.00013
	θ	2.8 ± 0.36	2.5 ± 0.43	13.8	0.00031	2.53	0.0066	-34.9	0.0011	-40.3	0.0012
	$\alpha 1$	2.8 ± 0.51	2.5 ± 0.53	10.4	0.0016	1.92	0.044	-18.2	0.097	-18.6	0.15
	$\alpha 2$	2.6 ± 0.45	2.3 ± 0.5	19.7	2.1e-05	1.09	0.38	25.2	0.021	5.36	0.68
	$\beta 1$	2 ± 0.33	1.8 ± 0.36	12.8	0.0005	0.974	0.47	2.05	0.85	-16.4	0.2
	$\beta 2$	1.8 ± 0.31	1.6 ± 0.36	9.71	0.0023	1.4	0.18	-4.67	0.67	-17.4	0.18
	$\beta 3$	1.6 ± 0.29	1.4 ± 0.35	10.2	0.0018	0.829	0.61	2.55	0.82	-17.6	0.17
	$\beta 4$	1.4 ± 0.28	1.2 ± 0.35	6.63	0.011	1.1	0.36	-15.1	0.17	-30.2	0.017
	$\gamma 1$	1.2 ± 0.3	0.99 ± 0.37	5.06	0.026	1.17	0.32	-21.1	0.055	-29.7	0.019
	$\gamma 2$	1 ± 0.33	0.83 ± 0.41	4.69	0.032	1.34	0.21	-17.5	0.11	-30.1	0.017
	$\gamma 3$	0.85 ± 0.37	0.65 ± 0.42	4.44	0.037	1.53	0.13	-18.2	0.098	-30.4	0.016
	$\gamma 4$	0.71 ± 0.38	0.52 ± 0.43	4.65	0.033	1.53	0.13	-18.6	0.091	-30.4	0.016
TP8	θ	2.8 ± 0.39	2.5 ± 0.41	7.24	0.0081	2.04	0.03	-42.8	4.8e-05	-29.8	0.019
	$\alpha 1$	2.8 ± 0.47	2.4 ± 0.5	7.45	0.0073	1.91	0.044	-27.7	0.011	-10.5	0.42
	$\alpha 2$	2.5 ± 0.41	2.2 ± 0.45	17.2	6.4e-05	1.34	0.21	7.64	0.49	11.2	0.39
	$\beta 1$	2 ± 0.3	1.7 ± 0.37	10	0.002	1.23	0.27	-13.6	0.22	-6.33	0.63
	$\beta 2$	1.8 ± 0.31	1.5 ± 0.36	5.25	0.024	1.54	0.13	-17.4	0.11	-10	0.44
	$\beta 3$	1.6 ± 0.3	1.4 ± 0.36	5.41	0.022	0.974	0.47	-8.41	0.45	-10.1	0.44
T8	δ	3.6 ± 0.49	3.4 ± 0.47	4.86	0.029	1.66	0.091	-32	0.003	-43.1	0.00048
	θ	2.7 ± 0.4	2.4 ± 0.41	14.6	0.00022	2.71	0.0038	-37.2	0.00049	-45.2	0.00023
	$\alpha 1$	2.7 ± 0.5	2.4 ± 0.51	9.82	0.0022	2.5	0.0072	-23.2	0.033	-24.2	0.058
	$\alpha 2$	2.5 ± 0.44	2.1 ± 0.46	22.7	5.5e-06	1.57	0.12	14.9	0.18	-2.84	0.83
	$\beta 1$	1.9 ± 0.34	1.7 ± 0.37	14.9	0.00019	2.12	0.024	-3.62	0.74	-21.7	0.09
	$\beta 2$	1.7 ± 0.33	1.5 ± 0.36	10.4	0.0016	1.9	0.046	-10.8	0.33	-25.4	0.046
	$\beta 3$	1.5 ± 0.34	1.3 ± 0.34	13.3	0.0004	1.33	0.21	-5.25	0.64	-27.2	0.032
	$\beta 4$	1.3 ± 0.36	1.1 ± 0.36	9.84	0.0022	1.24	0.27	-19.9	0.07	-37.7	0.0025
	$\gamma 1$	1.2 ± 0.39	0.92 ± 0.38	7.93	0.0057	0.999	0.45	-20.3	0.065	-33.4	0.008
	$\gamma 2$	1 ± 0.42	0.78 ± 0.41	5.83	0.017	0.922	0.52	-15.7	0.15	-30.7	0.015
	$\gamma 3$	0.82 ± 0.45	0.6 ± 0.44	5.88	0.017	0.819	0.62	-14.5	0.19	-29.2	0.021
	$\gamma 4$	0.69 ± 0.46	0.47 ± 0.43	5.97	0.016	0.702	0.73	-13.9	0.21	-28.2	0.026
FC4	θ	2.4 ± 0.48	2.2 ± 0.47	0.0658	0.8	1.98	0.036	-23	0.035	-42.5	0.00058
	$\alpha 1$	2.2 ± 0.44	2.1 ± 0.47	0.0427	0.84	2.35	0.012	-22.8	0.037	-26.1	0.041
T10	$\alpha 2$	2.2 ± 0.56	2 ± 0.56	7.2	0.0083	1.13	0.35	7.76	0.48	-1.01	0.94
Ft10	$\alpha 2$	1.9 ± 0.44	1.7 ± 0.43	5.19	0.024	0.891	0.55	-1.81	0.87	9.33	0.47
	$\beta 3$	1.1 ± 0.39	0.95 ± 0.38	2.64	0.11	2.11	0.024	-14.3	0.19	-7.94	0.54
	$\beta 4$	0.92 ± 0.4	0.79 ± 0.4	1.78	0.18	2.61	0.0051	-24.9	0.023	-16.2	0.21
	$\gamma 1$	0.76 ± 0.41	0.65 ± 0.41	0.901	0.34	2.66	0.0045	-28	0.0098	-15.3	0.23
	$\gamma 2$	0.63 ± 0.43	0.52 ± 0.42	1.04	0.31	2.29	0.014	-25	0.022	-15.4	0.23
F8	θ	2.4 ± 0.46	2.1 ± 0.39	6.96	0.0094	1.62	0.1	-32.7	0.0024	-41.4	0.00082
	$\alpha 1$	2.3 ± 0.47	2 ± 0.44	4.86	0.029	2.34	0.012	-25.8	0.018	-20.9	0.1
	$\alpha 2$	2 ± 0.42	1.8 ± 0.38	11.6	0.00091	1.86	0.052	2.17	0.84	-0.515	0.97
	$\beta 1$	1.6 ± 0.41	1.4 ± 0.34	5.47	0.021	1.41	0.18	-8.51	0.44	-18.3	0.15
	$\beta 2$	1.4 ± 0.39	1.2 ± 0.33	5.02	0.027	1.42	0.17	-9.62	0.38	-17.8	0.17
	$\beta 3$	1.2 ± 0.41	1 ± 0.33	6.13	0.015	1.23	0.27	-5.59	0.61	-17.9	0.16
	$\beta 4$	1.1 ± 0.43	0.85 ± 0.35	5.31	0.023	1.28	0.25	-13.5	0.22	-24.8	0.052
F4	$\alpha 2$	2 ± 0.51	1.8 ± 0.37	5.58	0.02	0.529	0.88	-1.43	0.9	-9.16	0.48

Table S2. Comparison of Absolute Spectral Power (log10) between Boys and Girls during Eyes-Open Condition

Significant Sex Factor		Significant Age Factor							
Eyes Open	Absolute Spectral Power (log10)			ANOVA			Pearson Correlation with Age (%)		
		Boys	Girls	Factor: SEX	Factor: AGE		Boys		Girls
EEG	Freq.	Mean ± Std	Mean ± Std	F	p	F	p	Corr. Coeff	p
AF4	θ	2.3 ± 0.42	2.1 ± 0.4	1.27	0.26	2.2	0.019	-34.3	0.0014
	α1	2 ± 0.4	1.8 ± 0.36	2.36	0.13	2.82	0.0026	-34.8	0.0012
	β2	1.3 ± 0.37	1.2 ± 0.36	0.702	0.4	2.21	0.018	-20.8	0.057
	β3	1.2 ± 0.39	1 ± 0.37	1.11	0.29	2.03	0.031	-18.3	0.095
FP2	β4	0.97 ± 0.44	0.88 ± 0.44	0.0912	0.76	2.21	0.018	-26.3	0.015
	γ1	0.8 ± 0.48	0.73 ± 0.45	0.0006	0.98	2.22	0.018	-26.1	0.016
	γ2	0.65 ± 0.5	0.58 ± 0.46	0.0111	0.92	2.17	0.02	-23.8	0.029
AF3	β2	1.4 ± 0.49	1.3 ± 0.38	0.993	0.32	2.2	0.019	-14.2	0.2
	β3	1.3 ± 0.52	1.1 ± 0.38	1.65	0.2	2.04	0.031	-13.3	0.23
F3	θ	2.4 ± 0.56	2.1 ± 0.46	6.99	0.0093	0.82	0.62	-19.7	0.072
	α1	2.1 ± 0.56	1.9 ± 0.49	5.16	0.025	0.919	0.52	-17.7	0.11
	α2	1.9 ± 0.56	1.7 ± 0.45	5.22	0.024	0.847	0.59	-8.44	0.45
	β1	1.6 ± 0.53	1.4 ± 0.41	5.17	0.025	0.75	0.69	-6.25	0.57
	β3	1.3 ± 0.56	1 ± 0.41	6.18	0.014	1.11	0.36	-2.28	0.84
	β4	1.1 ± 0.58	0.88 ± 0.4	5.61	0.019	1.2	0.29	-7.83	0.48
FC3	β2	1.4 ± 0.39	1.3 ± 0.37	0.0259	0.87	2.29	0.014	-6.01	0.59
	β3	1.3 ± 0.41	1.2 ± 0.38	0.602	0.44	2.13	0.023	-2.1	0.85
	β4	1.1 ± 0.44	0.99 ± 0.38	0.458	0.5	1.97	0.038	-11.7	0.29
CP3	θ	2.7 ± 0.38	2.4 ± 0.39	9.77	0.0022	2.26	0.016	-16.9	0.12
	α1	2.5 ± 0.4	2.2 ± 0.41	8.43	0.0044	3.85	9.2e-05	-13.3	0.23
	α2	2.2 ± 0.43	2 ± 0.41	8.08	0.0053	3.16	0.00088	4.81	0.66
	β1	1.9 ± 0.36	1.7 ± 0.4	3.73	0.056	2.32	0.013	6.78	0.54
	β2	1.7 ± 0.35	1.5 ± 0.4	3.79	0.054	2.83	0.0026	5.53	0.62
	β3	1.6 ± 0.38	1.4 ± 0.4	5.16	0.025	2.23	0.017	8.11	0.46
T9	α1	2.1 ± 0.46	2 ± 0.52	2.76	0.099	2.39	0.01	-25.2	0.021
	α2	1.9 ± 0.42	1.8 ± 0.5	1.99	0.16	2.22	0.018	-15.8	0.15
T7	θ	2.7 ± 0.34	2.4 ± 0.36	11.5	0.00095	2.87	0.0022	-35.5	0.00092
	α1	2.4 ± 0.36	2.2 ± 0.38	9.87	0.0021	3.04	0.0013	-25.9	0.017
	α2	2.2 ± 0.35	2 ± 0.37	10.8	0.0014	1.9	0.046	-4.01	0.72
	β1	1.9 ± 0.31	1.7 ± 0.34	5.6	0.02	1.54	0.13	-2.34	0.83
	β2	1.7 ± 0.3	1.5 ± 0.34	3.76	0.055	2.2	0.019	-7.24	0.51
	β3	1.5 ± 0.34	1.4 ± 0.35	4.46	0.037	1.79	0.064	-5.33	0.63
Tp7	θ	2.7 ± 0.33	2.4 ± 0.38	12.5	0.00059	2.67	0.0043	-33.2	0.002
	α1	2.5 ± 0.37	2.2 ± 0.41	10.3	0.0017	3.63	0.00019	-21.9	0.045
	α2	2.2 ± 0.39	2 ± 0.38	10.5	0.0016	2.49	0.0076	-1.87	0.87
	β1	1.9 ± 0.3	1.7 ± 0.35	5.79	0.018	1.92	0.044	-1.84	0.87
	β2	1.7 ± 0.29	1.5 ± 0.36	4.45	0.037	2.37	0.011	-6.71	0.54
	β3	1.5 ± 0.3	1.4 ± 0.36	5.72	0.018	1.9	0.046	-4.38	0.69
P3	θ	2.8 ± 0.34	2.5 ± 0.41	13.9	0.0003	2.3	0.014	-21.4	0.05
	α1	2.6 ± 0.4	2.3 ± 0.45	10.1	0.0019	3.33	0.00051	-18.2	0.097
	α2	2.3 ± 0.41	2.1 ± 0.46	9.37	0.0027	2.05	0.029	3.04	0.78
	β1	2 ± 0.33	1.8 ± 0.4	4.48	0.036	1.77	0.068	2.99	0.79
	β2	1.8 ± 0.32	1.6 ± 0.41	3.65	0.058	2.15	0.021	1.96	0.86
	β3	1.6 ± 0.33	1.4 ± 0.41	5.41	0.022	1.7	0.081	5.91	0.59
TP9	θ	2.8 ± 0.37	2.5 ± 0.41	7.86	0.0059	3.26	0.00063	-34.3	0.0014
	α1	2.5 ± 0.41	2.3 ± 0.42	7.85	0.0059	3.65	0.00018	-25.4	0.02
	α2	2.3 ± 0.4	2.1 ± 0.43	7.63	0.0067	2.82	0.0026	-4.15	0.71
	β1	1.9 ± 0.35	1.8 ± 0.39	3.61	0.06	2.43	0.0091	-3.46	0.75
	β2	1.8 ± 0.32	1.6 ± 0.4	2.45	0.12	2.96	0.0017	-9.45	0.39
	β3	1.6 ± 0.35	1.4 ± 0.41	2.6	0.11	2.22	0.017	-7.83	0.48
PO7	δ	3.8 ± 0.38	3.5 ± 0.51	4.16	0.044	2.87	0.0022	-38.1	0.00035
	θ	3 ± 0.33	2.6 ± 0.48	18.4	3.6e-05	4.46	1.3e-05	-35.9	0.0008
	α1	2.8 ± 0.39	2.4 ± 0.49	19.2	2.5e-05	4.93	2.8e-06	-25.9	0.017
	α2	2.6 ± 0.36	2.2 ± 0.48	18.3	3.9e-05	2.98	0.0016	-3.14	0.78
	β1	2.2 ± 0.3	1.9 ± 0.44	11.6	0.00092	2.61	0.0052	-3.38	0.76
	β2	2 ± 0.28	1.7 ± 0.44	8.7	0.0038	3.11	0.001	-6.59	0.55
	β3	1.8 ± 0.29	1.5 ± 0.44	8.06	0.0053	2.64	0.0048	-7.36	0.51

	$\beta 4$	1.6 \pm 0.29	1.3 \pm 0.44	6.02	0.016	2.47	0.008	-13	0.24	-42.8	0.00052
	$\gamma 1$	1.4 \pm 0.33	1.1 \pm 0.44	5.95	0.016	2.36	0.011	-18.6	0.091	-42.3	0.00062
	$\gamma 2$	1.2 \pm 0.37	0.92 \pm 0.43	5.91	0.017	1.79	0.063	-15	0.17	-43.2	0.00046
	$\gamma 3$	0.96 \pm 0.41	0.73 \pm 0.43	5.39	0.022	1.44	0.16	-10.6	0.34	-41.6	0.00076
	$\gamma 4$	0.84 \pm 0.42	0.62 \pm 0.44	4.8	0.03	1.45	0.16	-12.2	0.27	-40.8	0.00099
O1	θ	3 \pm 0.32	2.6 \pm 0.49	13.1	0.00045	3.64	0.00018	-45	1.8e-05	-39.4	0.0015
	$\alpha 1$	2.8 \pm 0.41	2.4 \pm 0.49	15.4	0.00015	4.58	8.7e-06	-33.7	0.0017	-33.9	0.007
	$\alpha 2$	2.6 \pm 0.38	2.3 \pm 0.48	15.5	0.00014	2.85	0.0024	-8.91	0.42	-17.5	0.17
	$\beta 1$	2.2 \pm 0.31	2 \pm 0.45	8.06	0.0053	2.32	0.013	-11.9	0.28	-23.1	0.071
	$\beta 2$	2 \pm 0.28	1.8 \pm 0.44	6.2	0.014	2.39	0.01	-14.1	0.2	-26.9	0.035
	$\beta 3$	1.8 \pm 0.28	1.6 \pm 0.45	5.66	0.019	1.63	0.098	-11.1	0.31	-28	0.027
O2	δ	3.8 \pm 0.36	3.5 \pm 0.5	10.5	0.0016	1.94	0.041	-33	0.0022	-48.2	7.2e-05
	θ	3 \pm 0.3	2.6 \pm 0.41	38.2	9.2e-09	4.25	2.6e-05	-38.5	0.0003	-48.2	7.2e-05
	$\alpha 1$	2.9 \pm 0.38	2.4 \pm 0.44	34.3	4.3e-08	4.51	1.1e-05	-24.1	0.027	-37.5	0.0026
	$\alpha 2$	2.6 \pm 0.37	2.2 \pm 0.43	34.2	4.5e-08	2.9	0.002	-0.749	0.95	-20	0.12
	$\beta 1$	2.3 \pm 0.29	1.9 \pm 0.41	22.3	6.5e-06	2.31	0.013	1.01	0.93	-28.6	0.024
	$\beta 2$	2 \pm 0.27	1.7 \pm 0.4	23	4.8e-06	2.58	0.0057	1.14	0.92	-32.7	0.0095
	$\beta 3$	1.8 \pm 0.27	1.5 \pm 0.4	19.8	1.9e-05	1.82	0.058	6.12	0.58	-33.9	0.007
	$\beta 4$	1.6 \pm 0.29	1.3 \pm 0.4	16.4	9.1e-05	1.57	0.12	-1.44	0.9	-42.3	0.00062
	$\gamma 1$	1.4 \pm 0.32	1.1 \pm 0.4	15.6	0.00013	1.2	0.29	-4.5	0.68	-41.8	0.00073
	$\gamma 2$	1.2 \pm 0.4	0.93 \pm 0.4	11.7	0.00085	0.945	0.5	-2.68	0.81	-40	0.0013
	$\gamma 3$	1 \pm 0.44	0.74 \pm 0.43	8.87	0.0035	1.01	0.44	-2.62	0.81	-40.1	0.0012
	$\gamma 4$	0.9 \pm 0.46	0.64 \pm 0.44	6.58	0.012	1.07	0.39	-3.18	0.77	-38.8	0.0018
PO8	δ	3.7 \pm 0.35	3.4 \pm 0.51	16	0.00011	2.49	0.0076	-43.6	3.4e-05	-48.8	5.8e-05
	θ	2.9 \pm 0.35	2.5 \pm 0.44	39.4	5.8e-09	5.35	7.6e-07	-45.3	1.5e-05	-52.8	1e-05
	$\alpha 1$	2.8 \pm 0.43	2.3 \pm 0.47	34.2	4.5e-08	4.85	3.7e-06	-30.6	0.0047	-41.1	0.0009
	$\alpha 2$	2.6 \pm 0.4	2.1 \pm 0.44	35.2	3e-08	2.47	0.0081	-9.31	0.4	-22.5	0.078
	$\beta 1$	2.2 \pm 0.33	1.8 \pm 0.41	25.1	1.9e-06	2.74	0.0034	-10	0.36	-35.5	0.0047
	$\beta 2$	1.9 \pm 0.3	1.6 \pm 0.4	24.9	2.1e-06	3.42	0.00037	-18.1	0.099	-41.9	0.00069
	$\beta 3$	1.7 \pm 0.28	1.4 \pm 0.41	23.2	4.4e-06	2.63	0.0048	-15.9	0.15	-39.7	0.0014
	$\beta 4$	1.5 \pm 0.29	1.2 \pm 0.41	19.1	2.6e-05	2.51	0.0071	-22.4	0.041	-51.1	2.2e-05
	$\gamma 1$	1.3 \pm 0.32	1 \pm 0.43	18.3	3.8e-05	2.39	0.01	-22.7	0.038	-49	5.4e-05
	$\gamma 2$	1.1 \pm 0.36	0.82 \pm 0.45	16.6	8.5e-05	1.78	0.066	-15.7	0.15	-44	0.00035
	$\gamma 3$	0.97 \pm 0.41	0.63 \pm 0.47	14.9	0.00018	1.82	0.058	-14	0.2	-39.6	0.0014
	$\gamma 4$	0.84 \pm 0.43	0.52 \pm 0.47	13	0.00047	1.99	0.035	-13.7	0.21	-39.2	0.0016
P4	δ	3.7 \pm 0.45	3.4 \pm 0.48	5.93	0.016	1.12	0.35	-33.4	0.0019	-32.9	0.009
	θ	2.8 \pm 0.3	2.4 \pm 0.43	29.9	2.5e-07	3.18	0.00083	-38.8	0.00026	-39.6	0.0014
	$\alpha 1$	2.6 \pm 0.36	2.2 \pm 0.45	30.4	2.1e-07	3.86	9e-05	-25.6	0.019	-31.1	0.014
	$\alpha 2$	2.4 \pm 0.35	2 \pm 0.43	30.6	1.9e-07	2.38	0.011	-3.61	0.74	-16.6	0.2
	$\beta 1$	2 \pm 0.27	1.7 \pm 0.4	22.1	7.1e-06	2.24	0.017	-4.91	0.66	-26.5	0.038
	$\beta 2$	1.8 \pm 0.27	1.5 \pm 0.4	20.1	1.7e-05	2.44	0.0089	-9.66	0.38	-29.9	0.018
	$\beta 3$	1.6 \pm 0.3	1.3 \pm 0.4	19.2	2.5e-05	1.93	0.042	-5	0.65	-31.3	0.013
	$\beta 4$	1.4 \pm 0.33	1.2 \pm 0.4	13.6	0.00034	1.35	0.21	-13.7	0.21	-38.4	0.0021
	$\gamma 1$	1.3 \pm 0.36	0.96 \pm 0.42	12.8	0.0005	1.24	0.27	-15.2	0.17	-35.9	0.0041
	$\gamma 2$	1.1 \pm 0.41	0.78 \pm 0.44	9.18	0.003	1.12	0.35	-10.7	0.33	-33.2	0.0084
	$\gamma 3$	0.84 \pm 0.45	0.62 \pm 0.45	5.88	0.017	1.11	0.36	-9.39	0.4	-30.4	0.016
CP4	θ	2.6 \pm 0.34	2.3 \pm 0.46	12.5	0.00058	2.64	0.0047	-40.9	0.00011	-37.8	0.0024
	$\alpha 1$	2.4 \pm 0.38	2.1 \pm 0.49	13.1	0.00044	3.37	0.00045	-31.2	0.0039	-27.4	0.031
	$\alpha 2$	2.2 \pm 0.34	1.9 \pm 0.46	16.3	9.5e-05	2.37	0.011	-10.2	0.36	-10.5	0.42
	$\beta 1$	1.8 \pm 0.3	1.6 \pm 0.43	7.45	0.0073	2.15	0.022	-11.3	0.31	-20	0.12
	$\beta 2$	1.6 \pm 0.3	1.4 \pm 0.44	6.75	0.011	2.21	0.018	-16.1	0.14	-23.5	0.066
	$\beta 3$	1.5 \pm 0.31	1.2 \pm 0.44	8.6	0.004	1.79	0.062	-9.11	0.41	-27.3	0.031
	$\beta 4$	1.3 \pm 0.35	1 \pm 0.43	7.28	0.008	1.29	0.24	-16.2	0.14	-37.5	0.0026
	$\gamma 1$	1.1 \pm 0.39	0.84 \pm 0.44	6.58	0.012	1.06	0.4	-16.9	0.12	-34.3	0.0064
	$\gamma 2$	0.89 \pm 0.44	0.66 \pm 0.45	5.48	0.021	0.786	0.65	-8.7	0.43	-34.1	0.0066
TP10	δ	3.6 \pm 0.35	3.4 \pm 0.46	3.24	0.074	2.02	0.032	-41.3	9.5e-05	-39.6	0.0015
	θ	2.7 \pm 0.32	2.4 \pm 0.38	19.1	2.7e-05	2.53	0.0066	-39.1	0.00024	-39	0.0017
	$\alpha 1$	2.5 \pm 0.37	2.2 \pm 0.42	16.9	7.1e-05	2.81	0.0028	-23.8	0.029	-25.1	0.049
	$\alpha 2$	2.3 \pm 0.35	2 \pm 0.4	17.2	6.4e-05	1.84	0.054	-1.44	0.9	-5.92	0.65
	$\beta 1$	1.9 \pm 0.31	1.7 \pm 0.35	10.1	0.0019	1.29	0.24	-3.45	0.76	-17.8	0.17
	$\beta 2$	1.7 \pm 0.29	1.5 \pm 0.35	8.01	0.0055	1.39	0.19	-7.53	0.5	-21.5	0.093
	$\beta 3$	1.6 \pm 0.3	1.3 \pm 0.35	6.53	0.012	1.11	0.36	-5.56	0.62	-20.2	0.12
	$\beta 4$	1.4 \pm 0.3	1.2 \pm 0.36	5.05	0.026	1.39	0.19	-17.6	0.11	-30	0.018
	$\gamma 2$	1 \pm 0.35	0.8 \pm 0.39	4.61	0.034	1.35	0.21	-16.5	0.13	-27.2	0.033
TP8	θ	2.7 \pm 0.36	2.5 \pm 0.4	7.52	0.007	1.8	0.061	-44.4	2.3e-05	-26.4	0.038

	$\alpha 1$	2.5 ± 0.37	2.2 ± 0.42	10	0.0019	2.41	0.0097	-35.1	0.0011	-15	0.24
	$\alpha 2$	2.3 ± 0.33	2 ± 0.4	13.2	0.00042	2.07	0.028	-17.6	0.11	-0.431	0.97
	$\beta 1$	1.9 ± 0.29	1.7 ± 0.36	7.51	0.0071	1.56	0.12	-20.4	0.063	-8	0.54
	$\beta 2$	1.7 ± 0.29	1.5 ± 0.37	4.61	0.034	1.65	0.092	-24.8	0.023	-11.6	0.37
C4	$\alpha 1$	2.2 ± 0.4	2.1 ± 0.48	2.05	0.15	2.32	0.013	-36.5	0.00063	-15.4	0.23
T8	δ	3.6 ± 0.49	3.4 ± 0.47	5.04	0.027	1.34	0.21	-31.4	0.0037	-34.5	0.0061
	θ	2.7 ± 0.38	2.4 ± 0.39	17.2	6.3e-05	2.32	0.013	-33.5	0.0018	-39.6	0.0015
	$\alpha 1$	2.4 ± 0.41	2.1 ± 0.42	15	0.00017	3.38	0.00043	-26.4	0.015	-31.8	0.012
	$\alpha 2$	2.2 ± 0.38	1.9 ± 0.4	19.5	2.2e-05	2.99	0.0015	-7.52	0.5	-12.6	0.33
	$\beta 1$	1.9 ± 0.33	1.6 ± 0.35	13.6	0.00035	2.16	0.021	-8.49	0.44	-22.1	0.085
	$\beta 2$	1.7 ± 0.33	1.4 ± 0.35	12	0.00073	2.15	0.022	-14.4	0.19	-24.6	0.054
	$\beta 3$	1.5 ± 0.35	1.3 ± 0.34	12.9	0.00049	1.6	0.11	-12.7	0.25	-26.7	0.036
	$\beta 4$	1.3 ± 0.38	1.1 ± 0.35	10.7	0.0014	1.23	0.28	-19.8	0.071	-35	0.0053
	$\gamma 1$	1.2 ± 0.43	0.91 ± 0.36	10.2	0.0018	0.885	0.56	-20.1	0.067	-30.8	0.015
	$\gamma 2$	1 ± 0.46	0.74 ± 0.38	8.25	0.0048	0.663	0.77	-14.7	0.18	-28.5	0.025
	$\gamma 3$	0.82 ± 0.49	0.59 ± 0.4	6.87	0.0099	0.51	0.89	-10.7	0.33	-26.8	0.035
	$\gamma 4$	0.7 ± 0.49	0.48 ± 0.41	6.2	0.014	0.523	0.88	-10.9	0.32	-22.7	0.076
FC4	$\alpha 1$	2.1 ± 0.42	1.9 ± 0.47	0.481	0.49	2.68	0.0042	-18.4	0.093	-31.4	0.013
Ft10	$\beta 3$	1.1 ± 0.38	0.94 ± 0.38	3.41	0.067	2.11	0.024	-19.9	0.069	-8.43	0.51
	$\beta 4$	0.93 ± 0.4	0.79 ± 0.38	2.36	0.13	2.32	0.013	-28	0.0099	-17	0.19
	$\gamma 1$	0.78 ± 0.42	0.62 ± 0.4	2.64	0.11	2.22	0.017	-30.2	0.0053	-12.9	0.32
F8	θ	2.4 ± 0.45	2.1 ± 0.4	6.77	0.01	1.56	0.12	-28.7	0.0081	-34	0.0068
	$\alpha 1$	2.1 ± 0.43	1.8 ± 0.4	6.72	0.011	2.39	0.01	-22.8	0.037	-24.8	0.052
	$\alpha 2$	1.9 ± 0.42	1.6 ± 0.36	7.02	0.0091	1.87	0.05	-11.4	0.3	-12.3	0.34
	$\beta 1$	1.6 ± 0.41	1.4 ± 0.34	4.4	0.038	1.5	0.14	-10.4	0.35	-16.3	0.21
	$\beta 3$	1.3 ± 0.42	1 ± 0.34	5.22	0.024	1.37	0.2	-9.84	0.37	-20.4	0.11
	$\beta 4$	1.1 ± 0.45	0.87 ± 0.34	6.53	0.012	1.3	0.23	-15.5	0.16	-23.5	0.066
	$\gamma 1$	0.94 ± 0.49	0.7 ± 0.35	5.53	0.02	1.2	0.29	-15.3	0.16	-15.9	0.22
	$\gamma 2$	0.78 ± 0.52	0.55 ± 0.37	4.58	0.034	1.2	0.29	-13.5	0.22	-15.3	0.23
F4	$\alpha 1$	2.1 ± 0.53	1.8 ± 0.41	4.57	0.035	1.51	0.14	-21.6	0.049	-29.1	0.022
	$\alpha 2$	1.8 ± 0.5	1.6 ± 0.37	4.73	0.032	0.989	0.46	-13.6	0.22	-16.5	0.2
	$\beta 4$	1.1 ± 0.49	0.87 ± 0.37	4.6	0.034	0.547	0.87	-20.6	0.06	-30	0.018

Table S3. Comparison of **Relative Spectral Power** (log10) between Boys and Girls during **Eyes-Closed** Condition

		Significant Sex Factor				Significant Age Factor					
Eyes Closed		Relative Spectral Power (log10)		ANOVA		Pearson Correlation with Age (%)					
		Boys	Girls	Factor: SEX	Factor: AGE	Boys	Corr. Coeff	p	Boys	Corr. Coeff	p
EEG	Freq.	Mean ± Std	Mean ± Std	F	p	F	p		Corr. Coeff	p	
AF4	θ	-2.6 ± 0.31	-2.7 ± 0.28	5.4	0.022	1.06	0.4	6.72	0.54	-17.5	0.17
AF4	α2	-3 ± 0.41	-3.2 ± 0.36	6.5	0.012	1.29	0.24	33.7	0.0017	20.8	0.11
F3	δ	-1.6 ± 0.06	-1.6 ± 0.064	4.24	0.042	2.32	0.013	-39.6	0.00019	-27.2	0.033
Ft9	α2	-3 ± 0.45	-3.1 ± 0.42	2.67	0.1	2.27	0.015	45.8	1.2e-05	34.2	0.0065
CP3	α2	-2.7 ± 0.55	-2.9 ± 0.51	4.78	0.031	1.09	0.38	30.2	0.0052	38.5	0.002
T7	θ	-2.5 ± 0.31	-2.7 ± 0.31	8.52	0.0042	0.848	0.59	13.5	0.22	-7.59	0.56
	α1	-2.5 ± 0.44	-2.7 ± 0.49	5.92	0.016	1.17	0.32	14.3	0.2	10.8	0.4
	α2	-2.8 ± 0.54	-2.9 ± 0.5	10.9	0.0012	1.75	0.071	41.2	9.9e-05	33.6	0.0075
	β1	-3.3 ± 0.41	-3.4 ± 0.37	5.48	0.021	1.4	0.18	41.8	7.7e-05	24.3	0.057
Tp7	α2	-2.8 ± 0.57	-2.9 ± 0.5	8.17	0.005	1.74	0.073	33.1	0.0021	51.1	2.2e-05
P3	δ	-1.6 ± 0.092	-1.7 ± 0.099	0.399	0.53	2.18	0.019	-40.2	0.00015	-38	0.0023
	α2	-2.6 ± 0.53	-2.8 ± 0.49	5.23	0.024	1.48	0.15	28.1	0.0096	34	0.0069
TP9	δ	-1.6 ± 0.091	-1.7 ± 0.089	0.0229	0.88	2.3	0.014	-42.2	6.2e-05	-27	0.034
	θ	-2.5 ± 0.31	-2.6 ± 0.32	4.76	0.031	0.648	0.78	10.3	0.35	2.96	0.82
	α2	-2.7 ± 0.55	-2.8 ± 0.53	8.67	0.0039	1.7	0.081	42	6.9e-05	40.4	0.0011
PO7	δ	-1.6 ± 0.099	-1.6 ± 0.1	0.112	0.74	2.39	0.01	-46.1	1e-05	-35.8	0.0043
	θ	-2.4 ± 0.29	-2.6 ± 0.32	5.35	0.022	0.89	0.55	-6.09	0.58	4.55	0.73
	α1	-2.3 ± 0.47	-2.5 ± 0.52	5.05	0.026	0.845	0.6	1.6	0.89	23.9	0.062
	α2	-2.5 ± 0.56	-2.7 ± 0.55	10.1	0.0019	1.47	0.15	36.7	0.0006	44.9	0.00025
	γ1	-4.1 ± 0.29	-4.1 ± 0.33	0.124	0.73	2.39	0.01	19.3	0.079	18.8	0.14
	γ2	-4.2 ± 0.31	-4.2 ± 0.34	0.128	0.72	2.71	0.0037	16.2	0.14	20.8	0.11
	γ3	-4.5 ± 0.34	-4.5 ± 0.35	0.308	0.58	2.65	0.0045	12.7	0.25	17.5	0.17
	γ4	-4.6 ± 0.36	-4.6 ± 0.35	0.185	0.67	2.53	0.0066	11.2	0.31	16.2	0.21
O1	δ	-1.6 ± 0.11	-1.7 ± 0.086	0.0165	0.9	2.97	0.0017	-44.3	2.4e-05	-39.3	0.0016
	θ	-2.4 ± 0.3	-2.6 ± 0.32	8.32	0.0046	1.75	0.07	-18.6	0.09	-2.15	0.87
	α1	-2.3 ± 0.48	-2.5 ± 0.56	7.99	0.0055	1.89	0.047	-8.12	0.46	10.9	0.4
	α2	-2.5 ± 0.54	-2.7 ± 0.58	14.1	0.00027	1.92	0.044	30.9	0.0042	34	0.0069
	β1	-3.1 ± 0.38	-3.3 ± 0.4	5.52	0.02	1.7	0.082	21.9	0.046	26.3	0.039
	γ1	-4.1 ± 0.29	-4.1 ± 0.31	0.978	0.32	2.08	0.027	17.6	0.11	23.3	0.069
	γ2	-4.2 ± 0.31	-4.3 ± 0.32	0.717	0.4	2.4	0.01	16.7	0.13	24.1	0.059
	γ3	-4.5 ± 0.35	-4.5 ± 0.32	0.668	0.42	2.49	0.0076	14.9	0.18	19.3	0.13
	γ4	-4.6 ± 0.37	-4.6 ± 0.33	0.498	0.48	2.58	0.0058	13.8	0.21	18.4	0.15
O2	δ	-1.6 ± 0.11	-1.7 ± 0.097	0.0046	0.95	3.08	0.0011	-44.6	2.1e-05	-49.7	4e-05
	θ	-2.4 ± 0.3	-2.5 ± 0.32	5.52	0.02	1.69	0.083	-14.2	0.2	-0.121	0.99
	α1	-2.3 ± 0.48	-2.5 ± 0.54	4.89	0.029	1.52	0.13	-3.47	0.75	19	0.14
	α2	-2.5 ± 0.55	-2.7 ± 0.57	11.2	0.0011	1.99	0.035	35.5	0.00092	38.2	0.0022
	β1	-3.2 ± 0.38	-3.2 ± 0.36	5.57	0.02	2.4	0.01	25.9	0.017	31.3	0.013
	β2	-3.4 ± 0.33	-3.5 ± 0.37	2.46	0.12	2.36	0.011	26.4	0.015	31.7	0.012
	β3	-3.6 ± 0.34	-3.7 ± 0.36	2.31	0.13	2.5	0.0072	35	0.0011	33.1	0.0086
	β4	-3.9 ± 0.31	-3.9 ± 0.33	0.438	0.51	2.08	0.027	27.1	0.013	22.7	0.077
	γ1	-4.1 ± 0.3	-4.1 ± 0.31	0.252	0.62	2.18	0.02	22.7	0.038	24.9	0.051
	γ2	-4.3 ± 0.32	-4.2 ± 0.33	0.0048	0.94	2.21	0.018	21.5	0.049	23.6	0.065
	γ3	-4.5 ± 0.37	-4.4 ± 0.34	0.0601	0.81	1.97	0.038	17.2	0.12	20.1	0.12
	γ4	-4.6 ± 0.39	-4.6 ± 0.35	0.121	0.73	2.23	0.017	16.7	0.13	19	0.14
PO8	δ	-1.7 ± 0.12	-1.6 ± 0.091	0.987	0.32	2.13	0.023	-44.8	1.9e-05	-52.4	1.2e-05
	α2	-2.5 ± 0.53	-2.6 ± 0.54	7.54	0.007	1.48	0.15	37.4	0.00045	38.2	0.0022
	γ1	-4 ± 0.28	-4 ± 0.31	0.0201	0.89	1.97	0.037	17.1	0.12	17.7	0.17
	γ2	-4.2 ± 0.32	-4.2 ± 0.31	0.11	0.74	2.04	0.03	15.6	0.16	20.5	0.11
	γ3	-4.4 ± 0.37	-4.4 ± 0.32	0.0026	0.96	2.27	0.015	14.8	0.18	20.6	0.11
	γ4	-4.6 ± 0.38	-4.5 ± 0.33	0.033	0.86	2.26	0.015	12.1	0.27	19.6	0.13
P4	θ	-2.4 ± 0.35	-2.6 ± 0.32	5.79	0.018	1.57	0.12	-2.36	0.83	-10.1	0.44
	α2	-2.6 ± 0.59	-2.8 ± 0.55	7.76	0.0062	1.57	0.11	35.4	0.00095	26.5	0.037
CP4	α2	-2.7 ± 0.5	-2.8 ± 0.55	4.91	0.029	1.77	0.067	30	0.0056	45.4	0.00021
	γ3	-4.4 ± 0.38	-4.4 ± 0.37	0.337	0.56	1.99	0.035	16.2	0.14	15.3	0.23
	γ4	-4.6 ± 0.38	-4.6 ± 0.37	0.0924	0.76	2.2	0.019	18.6	0.09	15.4	0.23
TP10	θ	-2.5 ± 0.31	-2.6 ± 0.32	5.19	0.024	0.776	0.66	-1.74	0.87	1.42	0.91
	α1	-2.4 ± 0.46	-2.6 ± 0.5	4.42	0.038	1.16	0.32	6.49	0.56	16.3	0.2

	$\alpha 2$	-2.6 \pm 0.5	-2.8 \pm 0.55	9.07	0.0032	2.27	0.015	44.3	2.4e-05	39	0.0017
	$\beta 3$	-3.7 \pm 0.33	-3.7 \pm 0.37	1.67	0.2	2.17	0.021	40.1	0.00016	30.1	0.018
	$\beta 4$	-3.9 \pm 0.3	-3.9 \pm 0.34	0.506	0.48	2.16	0.021	28	0.01	21	0.1
	$\gamma 2$	-4.2 \pm 0.32	-4.2 \pm 0.36	0.047	0.83	1.98	0.037	19	0.084	15.7	0.22
TP8	θ	-2.5 \pm 0.35	-2.7 \pm 0.37	6.64	0.011	1	0.45	-5.71	0.61	-4.28	0.74
	$\alpha 1$	-2.5 \pm 0.51	-2.7 \pm 0.54	5.07	0.026	1.18	0.31	3.68	0.74	11.1	0.39
	$\alpha 2$	-2.7 \pm 0.56	-2.9 \pm 0.54	10.3	0.0017	1.66	0.091	31.7	0.0033	30.3	0.017
	$\beta 1$	-3.3 \pm 0.42	-3.4 \pm 0.44	4.59	0.034	1.7	0.082	25.5	0.019	17	0.19
C4	θ	-2.5 \pm 0.31	-2.7 \pm 0.35	5.78	0.018	1.79	0.064	0.629	0.95	-9.4	0.47
	$\alpha 2$	-2.9 \pm 0.48	-3 \pm 0.51	5.69	0.019	1.37	0.2	32.3	0.0027	25.2	0.049
T8	δ	-1.6 \pm 0.083	-1.7 \pm 0.066	0.303	0.58	2.04	0.031	-44.6	2.2e-05	-39.5	0.0015
	$\alpha 2$	-2.8 \pm 0.52	-3 \pm 0.5	5.78	0.018	1.45	0.16	35.7	0.00085	31.8	0.012
T10	θ	-2.6 \pm 0.27	-2.7 \pm 0.31	2.07	0.15	2.04	0.03	6.65	0.55	-11.8	0.36
	$\alpha 2$	-2.9 \pm 0.45	-3 \pm 0.47	5.77	0.018	1.75	0.07	43.8	3.1e-05	30.2	0.017
Ft10	δ	-1.6 \pm 0.065	-1.6 \pm 0.06	0.586	0.45	1.99	0.035	-33.9	0.0016	-37.8	0.0025
F4	δ	-1.6 \pm 0.067	-1.6 \pm 0.067	0.0435	0.84	1.97	0.037	-48.1	3.6e-06	-38.1	0.0023

Table S4. Comparison of **Relative Spectral Power** (log10) between Boys and Girls during **Eyes-Open** Condition

Significant Sex Factor				Significant Age Factor							
Eyes Open	Relative Spectral Power (log10)			ANOVA				Pearson Correlation with Age (%)			
		Boys	Girls	Factor: SEX		Factor: AGE		Boys		Girls	
EEG	Freq.	Mean ± Std	Mean ± Std	F	p	F	p	Corr. Coeff	p	Corr. Coeff	p
AF4	θ	-2.6 ± 0.29	-2.7 ± 0.26	4.89	0.029	0.811	0.63	9.96	0.37	-15.3	0.24
	α1	-2.9 ± 0.38	-3.1 ± 0.29	4.46	0.037	0.809	0.63	8.81	0.43	-1.64	0.9
F7	θ	-2.6 ± 0.32	-2.7 ± 0.26	4.74	0.032	1.01	0.45	18	0.1	1.93	0.88
C3	θ	-2.5 ± 0.32	-2.6 ± 0.32	4.85	0.03	1.18	0.31	0.924	0.93	5.36	0.68
CP3	θ	-2.5 ± 0.32	-2.6 ± 0.28	5.03	0.027	1.02	0.43	4.09	0.71	2.57	0.84
T7	θ	-2.5 ± 0.32	-2.7 ± 0.28	9.76	0.0022	0.686	0.75	10.7	0.33	-1.39	0.91
	α1	-2.7 ± 0.4	-2.9 ± 0.39	7.73	0.0063	1.2	0.3	16.4	0.14	6.13	0.64
	α2	-3 ± 0.47	-3.1 ± 0.41	5.78	0.018	1.24	0.27	30.1	0.0055	24.4	0.056
Tp7	θ	-2.5 ± 0.35	-2.7 ± 0.28	6.69	0.011	0.461	0.92	7.39	0.5	8.3	0.52
	α1	-2.7 ± 0.45	-2.9 ± 0.4	4.7	0.032	0.944	0.5	10.4	0.35	18.9	0.14
	α2	-3 ± 0.51	-3.1 ± 0.43	4.37	0.039	1.21	0.29	23.7	0.03	33.4	0.008
P3	θ	-2.4 ± 0.31	-2.6 ± 0.28	5.42	0.022	1.35	0.2	-5.27	0.63	-9.94	0.44
TP9	θ	-2.4 ± 0.3	-2.6 ± 0.28	6.9	0.0098	0.605	0.82	9.21	0.4	7.59	0.56
	α1	-2.7 ± 0.42	-2.8 ± 0.39	5.48	0.021	1.04	0.42	13	0.24	16.7	0.19
	α2	-2.9 ± 0.48	-3 ± 0.42	4.75	0.031	1.2	0.3	30.5	0.0047	29.9	0.018
PO7	θ	-2.4 ± 0.3	-2.5 ± 0.3	9.24	0.0029	0.88	0.56	-1.84	0.87	5.82	0.65
	α1	-2.6 ± 0.41	-2.7 ± 0.4	7.59	0.0068	0.976	0.47	4.23	0.7	17	0.19
	α2	-2.8 ± 0.46	-2.9 ± 0.42	5.41	0.022	0.855	0.59	24.6	0.024	32	0.011
O1	δ	-1.6 ± 0.082	-1.6 ± 0.074	4.95	0.028	1.84	0.054	-46.9	6.7e-0	-29	0.022
	θ	-2.4 ± 0.29	-2.6 ± 0.33	12.4	0.00061	1.6	0.11	-15.9	0.15	0.154	0.99
	α1	-2.5 ± 0.43	-2.8 ± 0.44	12.3	0.00064	2.54	0.0064	-7.49	0.5	4.86	0.71
	α2	-2.8 ± 0.47	-2.9 ± 0.44	10.4	0.0016	2.27	0.015	15.1	0.17	24.1	0.059
O2	θ	-2.4 ± 0.3	-2.5 ± 0.3	8.97	0.0033	1.8	0.061	-9.81	0.37	8.78	0.5
	α1	-2.6 ± 0.43	-2.7 ± 0.4	7.89	0.0058	1.97	0.038	-0.73	0.95	14.8	0.25
	α2	-2.8 ± 0.47	-2.9 ± 0.43	7.9	0.0058	2.06	0.028	18.5	0.092	30	0.018
	β1	-3.2 ± 0.4	-3.2 ± 0.39	2.26	0.14	2.17	0.02	24.3	0.026	28.9	0.023
	β2	-3.4 ± 0.37	-3.4 ± 0.38	1.34	0.25	2.01	0.033	23.3	0.033	23.2	0.07
	β3	-3.6 ± 0.36	-3.6 ± 0.38	1.36	0.25	1.96	0.038	26.6	0.014	24.1	0.059
PO8	θ	-2.4 ± 0.27	-2.5 ± 0.28	5.3	0.023	1.11	0.36	-15.6	0.16	-3.56	0.78
	α1	-2.5 ± 0.41	-2.7 ± 0.37	4.41	0.038	1.29	0.24	-0.998	0.93	5.67	0.66
	α2	-2.7 ± 0.43	-2.9 ± 0.41	5.6	0.02	0.993	0.46	21.6	0.049	27.9	0.028
P4	θ	-2.4 ± 0.35	-2.6 ± 0.29	7.26	0.0081	1.65	0.094	0.661	0.95	-10.8	0.4
	α1	-2.6 ± 0.48	-2.8 ± 0.41	5.65	0.019	1.55	0.12	6.83	0.54	1.14	0.93
	α2	-2.9 ± 0.51	-3 ± 0.44	5.77	0.018	1.29	0.24	23	0.035	15.5	0.23
TP10	δ	-1.6 ± 0.071	-1.6 ± 0.075	5.49	0.021	1.18	0.31	-26.9	0.013	-26.3	0.039
	θ	-2.4 ± 0.3	-2.6 ± 0.3	7.92	0.0057	0.907	0.54	-2.93	0.79	3.04	0.81
	α1	-2.7 ± 0.41	-2.8 ± 0.4	6.26	0.014	1.33	0.22	9.11	0.41	10.4	0.42
	α2	-2.9 ± 0.42	-3 ± 0.45	5.92	0.016	1.5	0.14	27.5	0.011	30.3	0.016
TP8	θ	-2.5 ± 0.33	-2.6 ± 0.35	6.98	0.0094	1.07	0.39	-6.25	0.57	-6.45	0.62
	α1	-2.7 ± 0.46	-2.9 ± 0.46	7.04	0.0091	1.36	0.2	3.28	0.77	3.91	0.76
	α2	-2.9 ± 0.5	-3.1 ± 0.47	6.1	0.015	1.4	0.18	16.7	0.13	16.4	0.2
C4	θ	-2.5 ± 0.31	-2.7 ± 0.34	5.78	0.018	1.72	0.076	-1.43	0.9	-6.02	0.64
	α1	-2.8 ± 0.43	-2.9 ± 0.45	4.52	0.036	1.56	0.12	5.83	0.6	-0.092	0.99
	α2	-3 ± 0.46	-3.1 ± 0.46	4.75	0.031	1.43	0.17	17.7	0.11	16.3	0.21
T8	θ	-2.5 ± 0.34	-2.7 ± 0.28	4.4	0.038	1.4	0.18	-3.43	0.76	-3.69	0.78

Table S5. Comparison of boys and girls absolute power (top row) and relative power (bottom row) asymmetry during eyes closed (left column) and eyes open (right column) conditions.

EYES CLOSED ABSOLUTE SPECTA			EYES OPEN ABSOLUTE SPECTA				
Hemispheric EEG Pairs	Frq Band	Boys Log (Left - Right EEG)		Girls Log (Left - Right EEG)		ANOVA	
		Mean	Std	Mean	Std	F	p
P3 - P4	$\alpha 1$	-0.067 \pm 0.31	0.058	0.31	6.32	0.013	
	$\alpha 2$	-0.069 \pm 0.31	0.053	0.32	5.9	0.016	
	$\beta 1$	-0.062 \pm 0.27	0.069	0.32	7.83	0.006	
EYES CLOSED RELATIVE SPECTRA ASYMMETRY			EYES OPEN RELATIVE SPECTRA ASYMMETRY				
Hemispheric EEG Pairs	Frq Band	Boys Log (Left - Right EEG)		Girls Log (Left - Right EEG)		ANOVA	
		Mean	Std	Mean	Std	F	p
AF3 - AF4	$\alpha 2$	-0.05 \pm 0.28	0.067 \pm 0.23	8.2	0.0048		
	$\gamma 2$	-0.03 \pm 0.21	0.04 \pm 0.17	5.06	0.026		
T7 - T8	$\gamma 2$	0.066 \pm 0.20	-0.009 \pm 0.18	5.96	0.016		
	$\gamma 3$	0.054 \pm 0.18	-0.014 \pm 0.18	5.56	0.020		
	$\gamma 4$	0.048 \pm 0.18	-0.022 \pm 0.17	6.17	0.014		
Hemispheric EEG Pairs			Hemispheric EEG Pairs			ANOVA	
Frq Band		Boys Log (Left - Right EEG)		Girls Log (Left - Right EEG)		ANOVA	
		Mean	Std	Mean	Std	F	p
AF3 - AF4	$\alpha 1$	0.044 \pm 0.29	0.058 \pm 0.23	5.9	0.017		
	$\alpha 2$	-0.054 \pm 0.28	0.043 \pm 0.22	5.6	0.019		
	$\beta 4$	-0.053 \pm 0.26	0.042 \pm 0.19	6.5	0.012		
TP9 - TP10			δ	-0.005 \pm 0.06	0.016 \pm 0.056	5.2	0.023
O1 - O2			$\gamma 3$	0.023 \pm 0.16	-0.042 \pm 0.18	5.7	0.018

Table S6. Comparison of boys and girls **magnitude coherence** during **Eyes Closed** condition.

Significant Sex Factor		Significant Age Factor					
Eyes Closed	Magnitude Coherence		ANOVA		Correlation with Age		
		Boys	Girls	Factor: SEX	Factor: AGE	Boys	Girls
Lobes	Freq.	Mean ± Std	Mean ± Std	F	p	Corr. Coeff	p
L Front - L Temp	δ	0.465 ± 0.16	0.53 ± 0.15	4.94	0.028	0.565	0.85
	θ	0.414 ± 0.133	0.48 ± 0.14	4.96	0.028	0.434	0.94
	α1	0.426 ± 0.134	0.5 ± 0.15	6.07	0.015	0.407	0.95
	α2	0.413 ± 0.134	0.49 ± 0.15	5.62	0.019	0.672	0.76
	β1	0.374 ± 0.121	0.46 ± 0.14	10.4	0.0016	0.808	0.63
	β2	0.384 ± 0.125	0.47 ± 0.14	8.76	0.0037	0.736	0.7
	β3	0.399 ± 0.136	0.48 ± 0.15	8.2	0.005	0.872	0.57
	β4	0.419 ± 0.141	0.5 ± 0.15	7.62	0.0067	0.644	0.79
	γ1	0.446 ± 0.162	0.52 ± 0.15	5.78	0.018	0.677	0.76
	γ2	0.473 ± 0.176	0.55 ± 0.16	4.63	0.033	0.615	0.81
L Front - L Par/Occ	δ	0.363 ± 0.183	0.44 ± 0.17	5.87	0.017	0.675	0.76
	θ	0.329 ± 0.147	0.39 ± 0.15	4.72	0.032	0.902	0.54
	α1	0.352 ± 0.144	0.42 ± 0.17	6.12	0.015	0.849	0.59
	α2	0.342 ± 0.15	0.41 ± 0.16	5.4	0.022	1.37	0.2
	β1	0.288 ± 0.129	0.37 ± 0.15	11.5	0.00096	1.59	0.11
	β2	0.297 ± 0.133	0.38 ± 0.15	10.5	0.0015	1.57	0.12
	β3	0.306 ± 0.144	0.39 ± 0.16	8.5	0.0042	1.59	0.11
	β4	0.319 ± 0.155	0.41 ± 0.16	9.96	0.002	1.29	0.24
	γ1	0.345 ± 0.179	0.43 ± 0.17	7.26	0.0081	1.04	0.42
	γ2	0.376 ± 0.198	0.46 ± 0.18	5.87	0.017	0.785	0.65
	γ3	0.403 ± 0.215	0.48 ± 0.18	4.36	0.039	0.579	0.84
L Cent - L Temp	δ	0.55 ± 0.152	0.62 ± 0.14	7.97	0.0056	0.633	0.8
	θ	0.553 ± 0.13	0.62 ± 0.15	7.08	0.0089	0.69	0.75
	α1	0.578 ± 0.132	0.65 ± 0.15	10	0.002	0.731	0.71
	α2	0.561 ± 0.13	0.65 ± 0.15	9.9	0.0021	0.631	0.8
	β1	0.509 ± 0.12	0.61 ± 0.14	19.1	2.7e-05	0.592	0.83
	β2	0.517 ± 0.121	0.62 ± 0.14	18.4	3.7e-05	0.651	0.78
	β3	0.516 ± 0.129	0.63 ± 0.14	18.6	3.4e-05	0.785	0.65
	β4	0.521 ± 0.134	0.63 ± 0.14	16.7	8.1e-05	0.582	0.84
	γ1	0.526 ± 0.154	0.64 ± 0.14	16	0.00011	0.501	0.9
	γ2	0.538 ± 0.17	0.65 ± 0.15	13.1	0.00043	0.467	0.92
	γ3	0.545 ± 0.186	0.65 ± 0.14	11.6	0.0009	0.474	0.92
	γ4	0.53 ± 0.183	0.63 ± 0.15	10.9	0.0013	0.52	0.89
L Cent - L Par/Occ	δ	0.52 ± 0.157	0.58 ± 0.17	5.49	0.021	0.434	0.94
	θ	0.528 ± 0.13	0.58 ± 0.18	4.88	0.029	0.596	0.83
	α1	0.545 ± 0.132	0.61 ± 0.19	7.47	0.0072	0.978	0.47
	α2	0.532 ± 0.137	0.6 ± 0.19	6.23	0.014	1.19	0.3
	β1	0.475 ± 0.116	0.57 ± 0.18	15.1	0.00017	1.14	0.34
	β2	0.48 ± 0.119	0.57 ± 0.18	14.7	0.0002	1.03	0.43
	β3	0.48 ± 0.129	0.58 ± 0.19	13.9	0.0003	1.07	0.39
	β4	0.482 ± 0.137	0.59 ± 0.18	15.1	0.00017	0.865	0.58
	γ1	0.494 ± 0.156	0.6 ± 0.18	13.6	0.00034	0.68	0.75
	γ2	0.513 ± 0.172	0.62 ± 0.18	11.2	0.0011	0.551	0.86
	γ3	0.524 ± 0.187	0.63 ± 0.17	10.8	0.0013	0.567	0.85
	γ4	0.512 ± 0.186	0.61 ± 0.17	9.05	0.0032	0.67	0.76
L Temp - L Par/Occ	γ1	0.564 ± 0.152	0.64 ± 0.15	4.77	0.031	0.443	0.93
	γ2	0.572 ± 0.167	0.65 ± 0.15	4.57	0.035	0.381	0.96
R Front - R Temp	δ	0.457 ± 0.151	0.52 ± 0.14	5.15	0.025	0.731	0.71
	θ	0.394 ± 0.127	0.47 ± 0.13	7.69	0.0065	0.773	0.67
	α1	0.41 ± 0.127	0.49 ± 0.14	7.15	0.0085	0.951	0.49
	α2	0.396 ± 0.128	0.47 ± 0.13	6.39	0.013	1.37	0.19
	β1	0.355 ± 0.11	0.45 ± 0.13	13.6	0.00034	1.55	0.12
	β2	0.363 ± 0.11	0.45 ± 0.13	13.2	0.00042	1.25	0.26
	β3	0.373 ± 0.116	0.47 ± 0.13	12.8	0.00051	1.1	0.37
	β4	0.396 ± 0.128	0.48 ± 0.14	9.63	0.0024	1.16	0.32
	γ1	0.428 ± 0.145	0.51 ± 0.15	7.09	0.0088	0.845	0.6
	γ2	0.459 ± 0.164	0.54 ± 0.15	6.17	0.014	0.726	0.71

	γ^3	0.485 \pm 0.171	0.56 \pm 0.16	4.63	0.033	0.552	0.86	-18.6	0.09	-1.9	0.88
	γ^4	0.473 \pm 0.168	0.55 \pm 0.16	4.95	0.028	0.677	0.76	-19.5	0.076	-0.72	0.96
R Front - R Par/Occ	β^1	0.271 \pm 0.123	0.33 \pm 0.14	4.7	0.032	1.38	0.19	12.9	0.24	16	0.21
	β^2	0.274 \pm 0.126	0.34 \pm 0.14	5.75	0.018	1.14	0.34	10.1	0.36	5.3	0.68
	β^3	0.285 \pm 0.133	0.35 \pm 0.14	5.48	0.021	1.18	0.31	8.52	0.44	3.3	0.8
	β^4	0.301 \pm 0.147	0.37 \pm 0.15	5.36	0.022	1.08	0.38	1.8	0.87	5.3	0.68
	γ^1	0.332 \pm 0.17	0.41 \pm 0.16	4.58	0.034	1.03	0.42	-2.68	0.81	2.4	0.86
R Cent - R Temp	β^1	0.508 \pm 0.11	0.59 \pm 0.15	9.24	0.0029	0.639	0.79	1.82	0.87	13	0.33
	β^2	0.51 \pm 0.113	0.59 \pm 0.15	9.59	0.0024	0.513	0.89	-3.2	0.77	7.1	0.59
	β^3	0.509 \pm 0.118	0.59 \pm 0.15	8.21	0.0049	0.606	0.82	0.566	0.96	8.5	0.51
	β^4	0.515 \pm 0.125	0.6 \pm 0.15	8.44	0.0044	0.527	0.88	-7.89	0.48	2.9	0.82
	γ^1	0.527 \pm 0.142	0.61 \pm 0.16	7.18	0.0084	0.488	0.91	-10.4	0.35	-0.22	0.99
	γ^2	0.545 \pm 0.158	0.62 \pm 0.17	6.46	0.012	0.474	0.92	-11.7	0.29	-3.5	0.79
	γ^3	0.558 \pm 0.169	0.63 \pm 0.17	4.9	0.029	0.364	0.97	-13.8	0.21	-8	0.54
	γ^4	0.546 \pm 0.167	0.61 \pm 0.17	4.41	0.038	0.439	0.94	-13.9	0.21	-9.5	0.46
R Cent - R Par/Occ	β^2	0.451 \pm 0.112	0.52 \pm 0.18	4.54	0.035	0.475	0.92	-10.3	0.35	3.8	0.77
L Front - R Front	β^3	0.334 \pm 0.144	0.35 \pm 0.14	0.0066	0.94	1.91	0.045	0.187	0.99	23	0.079
	β^4	0.357 \pm 0.154	0.38 \pm 0.15	0.0801	0.78	1.95	0.039	-2.79	0.8	24	0.063
	γ^2	0.425 \pm 0.181	0.46 \pm 0.17	0.398	0.53	1.41	0.18	-9.98	0.37	14	0.28
L Cent - R Cent	α^2	0.343 \pm 0.171	0.39 \pm 0.2	1.74	0.19	2.37	0.011	14.2	0.2	41	0.0011
	β^1	0.3 \pm 0.155	0.37 \pm 0.19	4.49	0.036	2.18	0.02	7.61	0.49	35	0.005
	β^2	0.306 \pm 0.159	0.37 \pm 0.2	4.26	0.041	2.28	0.015	10.7	0.33	32	0.011
	β^3	0.322 \pm 0.174	0.39 \pm 0.2	3.86	0.052	2.31	0.013	8.19	0.46	30	0.019
	β^4	0.339 \pm 0.186	0.4 \pm 0.2	3.51	0.063	2.26	0.016	6.6	0.55	25	0.05
	γ^1	0.375 \pm 0.203	0.44 \pm 0.2	3.68	0.057	2.09	0.026	5.68	0.61	17	0.18
L Par/Occ - R Par/Occ	β^4	0.54 \pm 0.149	0.61 \pm 0.19	4.86	0.029	0.499	0.9	-1.69	0.88	-5.5	0.67
	γ^1	0.549 \pm 0.165	0.62 \pm 0.18	4.43	0.037	0.477	0.91	-7.14	0.52	-10	0.43
L Front - R Cent	α^2	0.319 \pm 0.145	0.34 \pm 0.15	0.43	0.51	1.83	0.056	7.87	0.48	41	0.00099
	β^4	0.315 \pm 0.154	0.34 \pm 0.16	1.2	0.28	1.85	0.053	-5.83	0.6	23	0.073
L Front - R Temp	α^2	0.316 \pm 0.129	0.35 \pm 0.14	0.5	0.48	2.46	0.0083	12	0.28	44	0.00034
	β^1	0.273 \pm 0.115	0.31 \pm 0.13	2.22	0.14	2.38	0.011	0.657	0.95	36	0.0038
	β^3	0.293 \pm 0.13	0.33 \pm 0.14	1.54	0.22	2.1	0.025	-2.1	0.85	30	0.017
	β^4	0.315 \pm 0.145	0.36 \pm 0.15	1.85	0.18	1.81	0.06	-7.93	0.47	26	0.045
L Front - R Par/Occ	δ	0.337 \pm 0.18	0.39 \pm 0.16	4.48	0.036	0.998	0.45	-10.2	0.36	6.3	0.63
	α^1	0.304 \pm 0.145	0.37 \pm 0.15	4.9	0.029	1	0.45	7.54	0.5	21	0.1
	β^1	0.246 \pm 0.123	0.31 \pm 0.13	6.52	0.012	1.76	0.069	5.41	0.62	2	0.091
	β^2	0.252 \pm 0.126	0.31 \pm 0.14	6.07	0.015	1.38	0.19	4.48	0.69	13	0.32
	β^3	0.264 \pm 0.136	0.32 \pm 0.15	4.74	0.031	1.65	0.094	2.07	0.85	16	0.21
	β^4	0.278 \pm 0.149	0.34 \pm 0.16	5.46	0.021	1.5	0.14	-2.38	0.83	14	0.29
	γ^1	0.309 \pm 0.171	0.37 \pm 0.17	4.69	0.032	1.31	0.23	-10.1	0.36	7.9	0.54
L Cent - R Temp	α^2	0.335 \pm 0.163	0.4 \pm 0.18	2.74	0.1	2.44	0.0088	17.8	0.11	43	0.00044
	β^1	0.29 \pm 0.139	0.37 \pm 0.17	6.03	0.016	2.16	0.021	8.74	0.43	37	0.0028
	β^2	0.295 \pm 0.145	0.37 \pm 0.16	6.27	0.014	1.86	0.052	11.3	0.31	33	0.0081
	β^3	0.312 \pm 0.154	0.39 \pm 0.17	5.82	0.017	2.12	0.024	7.75	0.48	32	0.012
	β^4	0.332 \pm 0.166	0.41 \pm 0.17	5.6	0.02	1.95	0.04	3.03	0.78	26	0.043
	γ^1	0.365 \pm 0.184	0.44 \pm 0.17	5.08	0.026	1.57	0.12	0.291	0.98	17	0.18
	γ^2	0.403 \pm 0.202	0.48 \pm 0.18	4.38	0.038	1.4	0.18	-1.53	0.89	8.4	0.51
L Cent - R Par/Occ	θ	0.349 \pm 0.173	0.41 \pm 0.18	4.75	0.031	0.785	0.65	3.72	0.74	22	0.088
	α^1	0.353 \pm 0.18	0.44 \pm 0.21	6.32	0.013	1.19	0.3	8.53	0.44	27	0.031
	α^2	0.349 \pm 0.185	0.43 \pm 0.2	5.4	0.022	1.66	0.091	16.4	0.14	33	0.0098
	β^1	0.295 \pm 0.156	0.4 \pm 0.19	12.7	0.00053	1.33	0.21	8.32	0.45	27	0.033
	β^2	0.299 \pm 0.161	0.41 \pm 0.19	12.2	0.00067	1.04	0.41	9.42	0.39	23	0.075
	β^3	0.316 \pm 0.171	0.43 \pm 0.19	11.8	0.00083	1.15	0.33	6.82	0.54	22	0.08
	β^4	0.329 \pm 0.181	0.44 \pm 0.19	11.8	0.00081	1.08	0.38	2.39	0.83	21	0.11
	γ^1	0.359 \pm 0.198	0.47 \pm 0.18	10.4	0.0016	0.914	0.53	-1.99	0.86	13	0.3
	γ^2	0.398 \pm 0.214	0.5 \pm 0.18	8.44	0.0044	0.867	0.57	-4.03	0.72	7.8	0.55
	γ^3	0.422 \pm 0.227	0.52 \pm 0.19	6.15	0.015	0.807	0.63	-3.84	0.73	-0.033	1
	γ^4	0.414 \pm 0.225	0.5 \pm 0.18	5.43	0.022	0.928	0.52	-4.16	0.71	-1.4	0.92
L Temp - R Par/Occ	α^2	0.46 \pm 0.181	0.5 \pm 0.17	0.291	0.59	1.93	0.043	14.5	0.19	25	0.047
	β^1	0.389 \pm 0.145	0.46 \pm 0.16	5.21	0.024	0.984	0.46	-5.55	0.62	14	0.27
	β^2	0.388 \pm 0.153	0.46 \pm 0.17	5.54	0.02	0.824	0.62	-2.39	0.83	10	0.43
	β^3	0.403 \pm 0.156	0.48 \pm 0.17	5.33	0.023	0.896	0.55	-3.77	0.73	7.3	0.57
	β^4	0.402 \pm 0.162	0.49 \pm 0.17	7.64	0.0066	0.683	0.75	-7.74	0.48	3.6	0.78
	γ^1	0.421 \pm 0.181	0.51 \pm 0.17	7.66	0.0066	0.684	0.75	-13.7	0.21	-0.33	0.98
	γ^2	0.453 \pm 0.194	0.54 \pm 0.17	6.26	0.014	0.636	0.79	-14.6	0.19	-5.6	0.67

R Cent - L Temp	$\alpha 2$	0.343 ± 0.163	0.38 ± 0.18	1.48	0.23	1.84	0.055	7.79	0.48	28	0.03
	$\beta 1$	0.293 ± 0.136	0.36 ± 0.17	6.15	0.015	1.44	0.16	-3.89	0.73	17	0.2
	$\beta 2$	0.297 ± 0.143	0.37 ± 0.18	6.15	0.015	1.49	0.14	-1.07	0.92	14	0.29
	$\beta 3$	0.316 ± 0.153	0.38 ± 0.18	5.1	0.026	1.82	0.057	-2.46	0.82	13	0.32
	$\beta 4$	0.334 ± 0.163	0.4 ± 0.18	5.57	0.02	1.74	0.074	-0.657	0.95	9.1	0.48
	$\gamma 1$	0.372 ± 0.185	0.44 ± 0.19	4.76	0.031	1.65	0.093	-5.56	0.62	3.9	0.77
R Cent - L Par/Occ	$\beta 1$	0.299 ± 0.147	0.38 ± 0.21	6.89	0.0098	1.38	0.19	2.33	0.83	16	0.2
	$\beta 2$	0.298 ± 0.155	0.39 ± 0.22	6.82	0.01	1.07	0.39	2.19	0.84	15	0.25
	$\beta 3$	0.313 ± 0.166	0.4 ± 0.22	5.44	0.021	1.23	0.28	0.509	0.96	15	0.23
	$\beta 4$	0.324 ± 0.176	0.41 ± 0.22	5.47	0.021	1.07	0.39	-2.27	0.84	11	0.39
	$\gamma 1$	0.352 ± 0.193	0.44 ± 0.22	5.29	0.023	0.998	0.45	-5.38	0.63	6.6	0.61
	$\gamma 2$	0.393 ± 0.207	0.48 ± 0.23	4.48	0.036	0.876	0.57	-7.24	0.51	1.1	0.93
R Temp - L Par/Occ	$\beta 2$	0.373 ± 0.151	0.45 ± 0.18	4.38	0.039	0.929	0.52	6.91	0.53	15	0.26
	$\beta 4$	0.389 ± 0.166	0.47 ± 0.18	5.14	0.025	0.9	0.54	1.89	0.86	9.6	0.46
	$\gamma 1$	0.411 ± 0.183	0.5 ± 0.18	5.22	0.024	0.795	0.64	-1.54	0.89	3.1	0.81
	$\gamma 2$	0.446 ± 0.197	0.53 ± 0.18	4.75	0.031	0.657	0.78	-3.3	0.77	-2.4	0.85

Table S7. Comparison of boys and girls **Magnitude Coherence during Eyes Open** condition.

Significant Sex Factor		Significant Age Factor					
Eyes Open	Magnitude Coherence		ANOVA		Correlation with Age		
	Boys	Girls	Factor: SEX	Factor: AGE	Boys	Girls	
Lobes	Freq.	Mean ± Std	Mean ± Std	F p	F p	Corr. Coeff p	Corr. Coeff p
L Front - L Temp	δ	0.47 ± 0.154	0.54 ± 0.15	5.46 0.021	0.451 0.93	-19 0.083	2.1 0.87
	θ	0.42 ± 0.13	0.48 ± 0.15	5.62 0.019	0.457 0.93	-9.22 0.4	1.4 0.91
	α1	0.417 ± 0.123	0.49 ± 0.15	6.17 0.014	0.439 0.94	-3.6 0.74	9.6 0.46
	α2	0.403 ± 0.127	0.48 ± 0.15	6.51 0.012	0.494 0.9	-4.91 0.66	17 0.19
	β1	0.38 ± 0.122	0.46 ± 0.14	9.84 0.0022	0.827 0.61	-6.78 0.54	11 0.37
	β2	0.391 ± 0.127	0.47 ± 0.14	8.71 0.0038	0.759 0.68	-10 0.37	9.2 0.48
	β3	0.407 ± 0.136	0.48 ± 0.15	7.02 0.0091	0.772 0.67	-8.3 0.45	9.6 0.46
	β4	0.428 ± 0.148	0.5 ± 0.15	4.78 0.031	0.538 0.87	-15.2 0.17	8.5 0.51
L Front - L Par/Occ	δ	0.368 ± 0.181	0.45 ± 0.17	6.66 0.011	0.583 0.84	-6.78 0.54	7.2 0.58
	θ	0.332 ± 0.149	0.39 ± 0.15	5.02 0.027	0.91 0.53	-0.181 0.99	16 0.22
	α1	0.324 ± 0.139	0.4 ± 0.16	6.52 0.012	0.945 0.5	2.77 0.8	22 0.081
	α2	0.309 ± 0.137	0.38 ± 0.15	7.73 0.0063	1.09 0.38	2.44 0.83	29 0.024
	β1	0.29 ± 0.134	0.38 ± 0.15	11.8 0.0008	1.56 0.12	5.22 0.64	23 0.069
	β2	0.296 ± 0.137	0.39 ± 0.16	11.4 0.001	1.46 0.16	4.42 0.69	20 0.12
	β3	0.313 ± 0.146	0.4 ± 0.16	9.66 0.0024	1.48 0.15	4.62 0.68	17 0.18
	β4	0.329 ± 0.157	0.41 ± 0.17	7.45 0.0073	1.22 0.28	-0.458 0.97	15 0.24
	γ1	0.34 ± 0.171	0.42 ± 0.17	6.87 0.0099	1.17 0.32	-4.3 0.7	13 0.3
	γ2	0.361 ± 0.185	0.44 ± 0.18	5.77 0.018	0.854 0.59	-5.48 0.62	4.4 0.73
L Cent - L Temp	δ	0.554 ± 0.158	0.63 ± 0.14	7.12 0.0087	0.462 0.92	-3.9 0.72	-11 0.4
	θ	0.547 ± 0.134	0.61 ± 0.14	7.3 0.0079	0.648 0.78	6.53 0.56	-8.8 0.5
	α1	0.554 ± 0.124	0.64 ± 0.15	11.5 0.00092	0.671 0.76	8.91 0.42	-1.5 0.91
	α2	0.538 ± 0.127	0.63 ± 0.15	14 0.00028	0.551 0.86	16 0.15	7.6 0.56
	β1	0.51 ± 0.12	0.61 ± 0.14	19.4 2.3e-05	0.498 0.9	14.8 0.18	5.2 0.69
	β2	0.514 ± 0.124	0.62 ± 0.14	20.4 1.5e-05	0.635 0.8	9.04 0.41	3.8 0.77
	β3	0.525 ± 0.131	0.63 ± 0.13	16.9 7.2e-05	0.667 0.77	9.77 0.38	2.1 0.87
	β4	0.527 ± 0.139	0.63 ± 0.14	15 0.00018	0.632 0.8	3.3 0.77	4.8 0.71
	γ1	0.526 ± 0.152	0.63 ± 0.14	13.5 0.00035	0.556 0.86	-1.62 0.88	0.099 0.99
	γ2	0.525 ± 0.162	0.64 ± 0.14	14.7 0.0002	0.355 0.97	-0.263 0.98	-7.2 0.58
	γ3	0.533 ± 0.179	0.64 ± 0.14	12 0.00074	0.312 0.98	-1.85 0.87	-11 0.38
	γ4	0.52 ± 0.176	0.63 ± 0.14	11.3 0.0011	0.26 0.99	-5.93 0.59	-14 0.29
L Cent - L Par/Occ	δ	0.52 ± 0.166	0.58 ± 0.17	4.89 0.029	0.368 0.97	-6.88 0.53	7.5 0.56
	θ	0.518 ± 0.133	0.57 ± 0.18	5.63 0.019	0.423 0.94	-1.89 0.86	17 0.19
	α1	0.513 ± 0.125	0.59 ± 0.18	10.4 0.0016	0.78 0.66	1.7 0.88	23 0.07
	α2	0.498 ± 0.124	0.58 ± 0.19	11.3 0.001	0.902 0.54	5.27 0.63	30 0.018
	β1	0.47 ± 0.123	0.57 ± 0.18	15.8 0.00012	0.894 0.55	7.15 0.52	27 0.036
	β2	0.474 ± 0.128	0.57 ± 0.18	15.1 0.00017	0.885 0.56	3.41 0.76	25 0.053
	β3	0.484 ± 0.136	0.58 ± 0.18	13.1 0.00043	0.886 0.56	4.39 0.69	24 0.065
	β4	0.485 ± 0.141	0.59 ± 0.18	14.1 0.00027	0.749 0.69	2.4 0.83	23 0.07
	γ1	0.489 ± 0.152	0.59 ± 0.18	13.8 0.00031	0.705 0.73	-2.9 0.79	18 0.16
	γ2	0.5 ± 0.164	0.61 ± 0.17	13 0.00046	0.59 0.83	-1.01 0.93	11 0.41
	γ3	0.512 ± 0.183	0.62 ± 0.18	10.1 0.0019	0.506 0.9	-2.08 0.85	7.4 0.57
	γ4	0.501 ± 0.179	0.6 ± 0.18	9.65 0.0024	0.527 0.88	-4.62 0.68	4.1 0.75
	γ1	0.563 ± 0.147	0.63 ± 0.14	4.55 0.035	0.355 0.97	-17.7 0.11	-3.8 0.77
R Front - R Temp	δ	0.466 ± 0.158	0.53 ± 0.13	4.49 0.036	0.631 0.8	-14.1 0.2	11 0.42
	θ	0.399 ± 0.129	0.47 ± 0.12	8.56 0.0041	0.729 0.71	-8.35 0.45	11 0.41
	α1	0.398 ± 0.127	0.48 ± 0.13	8.3 0.0047	1.08 0.38	-3.78 0.73	21 0.11
	α2	0.381 ± 0.116	0.46 ± 0.12	9.06 0.0032	1.08 0.39	-5.2 0.64	26 0.04
	β1	0.361 ± 0.113	0.45 ± 0.13	13.8 0.00031	1.33 0.22	-8.24 0.46	25 0.053
	β2	0.366 ± 0.114	0.46 ± 0.13	13.2 0.00042	1.1 0.37	-9.59 0.39	16 0.23
	β3	0.384 ± 0.124	0.47 ± 0.13	9.93 0.0021	0.822 0.62	-12.7 0.25	14 0.29
	β4	0.401 ± 0.133	0.48 ± 0.13	8.38 0.0045	0.925 0.52	-14.2 0.2	14 0.28
	γ1	0.423 ± 0.144	0.5 ± 0.14	6.8 0.01	0.819 0.62	-14.8 0.18	13 0.32
	γ2	0.44 ± 0.152	0.52 ± 0.15	5.74 0.018	0.566 0.85	-13.4 0.22	5.4 0.68
	γ3	0.461 ± 0.166	0.54 ± 0.15	4.56 0.035	0.412 0.95	-12.6 0.25	2.8 0.83
R Front - R Par/Occ	β1	0.273 ± 0.124	0.34 ± 0.14	5.52 0.02	1.2 0.29	6.76 0.54	16 0.21
	β2	0.279 ± 0.132	0.34 ± 0.15	4.9 0.029	0.916 0.53	3.68 0.74	4.6 0.72
R Cent - R Temp	α1	0.553 ± 0.13	0.62 ± 0.15	5.25 0.024	0.625 0.8	-0.711 0.95	11 0.39

	$\alpha 2$	0.54 ± 0.12	0.61 ± 0.15	5.22	0.024	0.481	0.91	4.73	0.67	14	0.27
	$\beta 1$	0.506 ± 0.113	0.59 ± 0.15	9.6	0.0024	0.513	0.89	-1.33	0.9	14	0.28
	$\beta 2$	0.509 ± 0.116	0.59 ± 0.15	9.62	0.0024	0.531	0.88	-2.14	0.85	9	0.49
	$\beta 3$	0.519 ± 0.124	0.6 ± 0.15	8.27	0.0048	0.466	0.92	-2.37	0.83	5.3	0.68
	$\beta 4$	0.518 ± 0.129	0.6 ± 0.15	8.02	0.0054	0.369	0.97	-8.52	0.44	3.9	0.77
	$\gamma 1$	0.526 ± 0.141	0.6 ± 0.15	6.64	0.011	0.431	0.94	-11.1	0.32	2.5	0.85
	$\gamma 2$	0.532 ± 0.147	0.61 ± 0.16	6.92	0.0097	0.378	0.96	-9	0.42	-1.1	0.93
	$\gamma 3$	0.541 ± 0.161	0.62 ± 0.16	6.07	0.015	0.372	0.96	-9.76	0.38	-5	0.7
	$\gamma 4$	0.531 ± 0.162	0.6 ± 0.16	4.83	0.03	0.407	0.95	-9.81	0.37	-6.3	0.62
L Cent - R Cent	$\alpha 2$	0.32 ± 0.163	0.38 ± 0.19	2.46	0.12	1.61	0.11	7.88	0.48	39	0.0016
	$\beta 1$	0.305 ± 0.165	0.37 ± 0.19	4.3	0.04	2.06	0.029	5.02	0.65	35	0.0057
	$\beta 2$	0.312 ± 0.17	0.38 ± 0.19	4.54	0.035	1.86	0.052	7.18	0.52	32	0.012
L Par/Occ - R Par/Occ	$\beta 4$	0.55 ± 0.148	0.62 ± 0.19	4.86	0.029	0.72	0.72	2.05	0.85	-4.6	0.72
	$\gamma 1$	0.547 ± 0.159	0.61 ± 0.18	4.88	0.029	0.548	0.87	-2.89	0.79	-8.9	0.49
L Front - R Par/Occ	δ	0.348 ± 0.18	0.41 ± 0.17	5.02	0.027	0.771	0.67	-9.94	0.37	12	0.37
	$\beta 1$	0.248 ± 0.123	0.31 ± 0.14	7.12	0.0087	1.41	0.18	1.18	0.92	18	0.16
	$\beta 2$	0.257 ± 0.128	0.32 ± 0.14	6.27	0.014	1.28	0.25	-1.31	0.91	13	0.32
	$\beta 3$	0.273 ± 0.139	0.33 ± 0.15	4.97	0.028	1.36	0.2	-0.616	0.96	15	0.24
	$\beta 4$	0.283 ± 0.152	0.35 ± 0.17	5.32	0.023	1.14	0.34	-5.96	0.59	13	0.32
L Cent - R Temp	$\alpha 1$	0.329 ± 0.151	0.39 ± 0.17	4.49	0.036	1.56	0.12	12.5	0.26	43	0.00043
	$\alpha 2$	0.307 ± 0.139	0.38 ± 0.17	5.22	0.024	1.75	0.07	7.97	0.47	46	0.00019
	$\beta 1$	0.295 ± 0.146	0.37 ± 0.17	5.45	0.021	1.84	0.055	6.51	0.56	38	0.0025
	$\beta 2$	0.305 ± 0.145	0.38 ± 0.16	5.47	0.021	1.65	0.093	8.82	0.42	35	0.0047
	$\beta 3$	0.326 ± 0.158	0.4 ± 0.17	5.25	0.024	1.58	0.11	7.07	0.52	32	0.012
	$\beta 4$	0.338 ± 0.163	0.41 ± 0.17	4.4	0.038	1.58	0.11	4.85	0.66	29	0.021
	$\gamma 2$	0.387 ± 0.185	0.46 ± 0.17	4.39	0.038	1.3	0.23	3.71	0.74	13	0.32
L Cent - R Par/Occ	θ	0.365 ± 0.176	0.43 ± 0.17	5.2	0.024	0.504	0.9	-2.24	0.84	22	0.092
	$\alpha 1$	0.334 ± 0.167	0.42 ± 0.19	9.03	0.0032	0.862	0.58	7.72	0.49	30	0.02
	$\alpha 2$	0.315 ± 0.165	0.41 ± 0.19	9.46	0.0026	0.949	0.5	4.25	0.7	30	0.018
	$\beta 1$	0.3 ± 0.159	0.41 ± 0.19	12.2	0.00067	0.94	0.5	4.22	0.7	26	0.045
	$\beta 2$	0.31 ± 0.164	0.41 ± 0.19	11	0.0012	0.942	0.5	4.98	0.65	22	0.082
	$\beta 3$	0.329 ± 0.176	0.43 ± 0.19	10.7	0.0014	0.908	0.54	5.94	0.59	21	0.099
	$\beta 4$	0.336 ± 0.182	0.45 ± 0.19	10.5	0.0016	0.899	0.54	3.26	0.77	21	0.1
	$\gamma 1$	0.355 ± 0.195	0.46 ± 0.18	9.21	0.003	0.923	0.52	0.0962	0.99	16	0.22
	$\gamma 2$	0.377 ± 0.204	0.48 ± 0.18	8.97	0.0033	0.832	0.61	1.78	0.87	6.6	0.61
	$\gamma 3$	0.401 ± 0.22	0.5 ± 0.18	6.99	0.0093	0.714	0.72	0.793	0.94	0.31	0.98
	$\gamma 4$	0.399 ± 0.218	0.49 ± 0.18	5.44	0.021	0.673	0.76	-1.32	0.91	-1.1	0.93
	$\beta 1$	0.389 ± 0.148	0.46 ± 0.16	5.66	0.019	0.772	0.67	-7.94	0.47	14	0.28
	$\beta 2$	0.398 ± 0.153	0.47 ± 0.17	4.9	0.029	0.67	0.76	-6.41	0.56	7.6	0.56
	$\beta 4$	0.411 ± 0.166	0.49 ± 0.18	6.86	0.01	0.634	0.8	-7.29	0.51	6.4	0.62
	$\gamma 1$	0.417 ± 0.181	0.5 ± 0.17	6.35	0.013	0.768	0.67	-10.8	0.33	1.9	0.88
	$\gamma 2$	0.437 ± 0.185	0.52 ± 0.17	5.64	0.019	0.654	0.78	-12	0.28	-4.5	0.73
	$\gamma 3$	0.448 ± 0.202	0.53 ± 0.18	4.53	0.035	0.47	0.92	-13.1	0.24	-8.8	0.5
R Cent - L Temp	$\beta 1$	0.297 ± 0.145	0.36 ± 0.17	5.97	0.016	1.23	0.28	-8.02	0.47	19	0.14
	$\beta 2$	0.307 ± 0.154	0.37 ± 0.18	4.97	0.028	1.12	0.36	-3.86	0.73	13	0.3
	$\beta 3$	0.329 ± 0.164	0.38 ± 0.19	3.64	0.059	1.24	0.27	-2.05	0.85	11	0.4
R Cent - L Par/Occ	$\alpha 1$	0.337 ± 0.163	0.41 ± 0.22	4.48	0.036	1.01	0.44	5.75	0.6	19	0.15
	$\alpha 2$	0.318 ± 0.162	0.39 ± 0.22	4.76	0.031	1.03	0.42	0.67	0.95	22	0.092
	$\beta 1$	0.301 ± 0.156	0.39 ± 0.21	7.29	0.008	1.06	0.4	-1.18	0.92	20	0.13
	$\beta 2$	0.307 ± 0.162	0.4 ± 0.22	6.27	0.014	0.9	0.54	-0.535	0.96	15	0.24
	$\beta 3$	0.326 ± 0.17	0.41 ± 0.22	5.38	0.022	1.01	0.44	1.11	0.92	14	0.29
	$\beta 4$	0.333 ± 0.182	0.42 ± 0.22	5.44	0.021	1.02	0.43	-0.0756	0.99	12	0.36
R Temp - L Par/Occ	$\beta 4$	0.4 ± 0.165	0.47 ± 0.18	4.48	0.036	0.85	0.59	4.79	0.67	11	0.4

Table S8. Comparison of boys and girls magnitude of Phase Synchrony during Eyes Closed condition.

Significant Sex Factor				Significant Age Factor			
Eyes Closed		Phase Coherency		ANOVA		Correlation with Age	
		Boys	Girls	Factor: Sex	Factor: AGE	Boys	Girls
Lobes	Freq.	Mean ± Std	Mean ± Std	F	p	Corr. Coeff	p
L Front - L Temp	δ	0.3 ± 0.0889	0.27 ± 0.083	4.44	0.037	0.652	0.78
	θ	0.321 ± 0.0757	0.29 ± 0.08	4.68	0.033	0.414	0.95
	α1	0.325 ± 0.0772	0.28 ± 0.085	6.41	0.013	0.527	0.88
	α2	0.337 ± 0.0766	0.29 ± 0.081	8.47	0.0043	0.693	0.74
	β1	0.346 ± 0.0704	0.3 ± 0.078	9.76	0.0022	0.7	0.74
	β2	0.339 ± 0.0733	0.3 ± 0.08	7.84	0.006	0.602	0.82
	β3	0.331 ± 0.0787	0.28 ± 0.084	7.8	0.0061	0.816	0.62
	β4	0.322 ± 0.0832	0.28 ± 0.085	7.39	0.0075	0.627	0.8
	γ1	0.308 ± 0.0942	0.26 ± 0.087	5.67	0.019	0.618	0.81
	γ2	0.293 ± 0.103	0.25 ± 0.094	4.68	0.033	0.555	0.86
L Front - L Par/Occ	δ	0.356 ± 0.0996	0.32 ± 0.091	4.46	0.037	0.789	0.65
	α1	0.371 ± 0.0823	0.33 ± 0.098	6.73	0.011	1.05	0.41
	α2	0.384 ± 0.0841	0.33 ± 0.096	8.58	0.0041	1.32	0.22
	β1	0.394 ± 0.0738	0.35 ± 0.083	11.2	0.0011	1.83	0.057
	β2	0.39 ± 0.0773	0.34 ± 0.087	11	0.0012	1.48	0.15
	β3	0.386 ± 0.0823	0.34 ± 0.09	10.3	0.0017	1.72	0.078
	β4	0.376 ± 0.089	0.33 ± 0.09	9.37	0.0027	1.49	0.15
	γ1	0.362 ± 0.101	0.32 ± 0.097	7.29	0.008	1.18	0.31
	γ2	0.345 ± 0.114	0.3 ± 0.1	6.14	0.015	0.852	0.59
L Cent - L Temp	δ	0.247 ± 0.0839	0.21 ± 0.079	7.14	0.0086	0.573	0.85
	θ	0.243 ± 0.0764	0.21 ± 0.085	6.69	0.011	0.606	0.82
	α1	0.237 ± 0.0755	0.19 ± 0.088	10.6	0.0015	0.674	0.76
	α2	0.249 ± 0.077	0.2 ± 0.086	9.73	0.0023	0.697	0.74
	β1	0.269 ± 0.068	0.21 ± 0.079	18.4	3.7e-05	0.655	0.78
	β2	0.264 ± 0.0714	0.21 ± 0.079	18.7	3.3e-05	0.707	0.73
	β3	0.264 ± 0.0749	0.2 ± 0.082	17.2	6.5e-05	0.748	0.69
	β4	0.264 ± 0.0799	0.2 ± 0.083	15.3	0.00016	0.651	0.78
	γ1	0.26 ± 0.0892	0.2 ± 0.081	15	0.00017	0.548	0.87
	γ2	0.255 ± 0.0999	0.19 ± 0.084	12.9	0.00048	0.489	0.91
	γ3	0.251 ± 0.108	0.19 ± 0.083	11	0.0012	0.464	0.92
	γ4	0.26 ± 0.105	0.2 ± 0.083	11.1	0.0011	0.52	0.89
L Cent - L Par/Occ	δ	0.267 ± 0.0881	0.24 ± 0.098	5.04	0.027	0.435	0.94
	α1	0.26 ± 0.0739	0.22 ± 0.11	10.3	0.0017	1.12	0.35
	α2	0.268 ± 0.0756	0.23 ± 0.11	8.04	0.0054	1.06	0.4
	β1	0.289 ± 0.0675	0.24 ± 0.11	14.9	0.00018	1.18	0.31
	β2	0.285 ± 0.0687	0.23 ± 0.11	15.4	0.00014	1.25	0.26
	β3	0.285 ± 0.0739	0.23 ± 0.11	14	0.00029	1.22	0.28
	β4	0.283 ± 0.0777	0.22 ± 0.1	14.8	0.00019	1.06	0.4
	γ1	0.278 ± 0.0896	0.22 ± 0.1	13.6	0.00034	0.75	0.69
	γ2	0.268 ± 0.099	0.21 ± 0.1	11.2	0.0011	0.664	0.77
	γ3	0.262 ± 0.108	0.2 ± 0.098	10	0.002	0.694	0.74
	γ4	0.271 ± 0.108	0.21 ± 0.097	9.8	0.0022	0.757	0.68
L Temp - L Par/Occ	γ1	0.237 ± 0.0886	0.2 ± 0.083	4.75	0.031	0.481	0.91
R Front - R Temp	δ	0.306 ± 0.0833	0.27 ± 0.075	4.71	0.032	0.725	0.71
	θ	0.334 ± 0.0731	0.29 ± 0.074	7.82	0.006	1.05	0.41
	α1	0.339 ± 0.0751	0.29 ± 0.082	8.88	0.0035	1.02	0.44
	α2	0.35 ± 0.0768	0.3 ± 0.076	8.39	0.0045	1.19	0.3
	β1	0.357 ± 0.0636	0.3 ± 0.072	13.2	0.00041	1.37	0.2
	β2	0.352 ± 0.0655	0.3 ± 0.075	12.4	0.0006	1.21	0.29
	β3	0.346 ± 0.0686	0.3 ± 0.078	10.9	0.0012	1.21	0.29
	β4	0.332 ± 0.0722	0.28 ± 0.08	8.94	0.0034	1.11	0.36
	γ1	0.315 ± 0.0836	0.27 ± 0.085	6.33	0.013	0.865	0.58
	γ2	0.299 ± 0.0936	0.25 ± 0.09	6.39	0.013	0.758	0.68
	γ3	0.284 ± 0.0964	0.24 ± 0.094	4.65	0.033	0.562	0.86
	γ4	0.292 ± 0.0961	0.25 ± 0.091	4.86	0.029	0.713	0.72
R Front - R Par/Occ	β1	0.407 ± 0.0705	0.37 ± 0.078	4.89	0.029	1.16	0.32

	β_2	0.401 \pm 0.0735	0.37 \pm 0.081	5.65	0.019	1.01	0.44	-8.25	0.46	-2.6	0.84
	β_3	0.396 \pm 0.077	0.36 \pm 0.082	5.27	0.023	1.25	0.26	-7.97	0.47	-6.7	0.6
	β_4	0.388 \pm 0.0837	0.35 \pm 0.084	5.12	0.025	1.09	0.38	-3.2	0.77	-7.4	0.57
R Cent - R Temp	α_1	0.235 \pm 0.0712	0.2 \pm 0.089	5.25	0.024	0.769	0.67	0.511	0.96	-9.1	0.48
	α_2	0.25 \pm 0.0704	0.21 \pm 0.086	6.01	0.016	0.818	0.62	-11.2	0.31	-21	0.1
	β_1	0.27 \pm 0.0642	0.22 \pm 0.084	8.83	0.0036	0.731	0.71	-3.61	0.74	-14	0.28
	β_2	0.268 \pm 0.0665	0.22 \pm 0.086	8.43	0.0044	0.598	0.83	-2.58	0.82	-7.3	0.57
	β_3	0.267 \pm 0.0705	0.23 \pm 0.088	6.65	0.011	0.699	0.74	1.12	0.92	-8.2	0.52
	β_4	0.264 \pm 0.0738	0.22 \pm 0.09	6.53	0.012	0.611	0.82	7.85	0.48	-3.7	0.78
	γ_1	0.258 \pm 0.0826	0.22 \pm 0.094	5.72	0.018	0.512	0.89	10.9	0.32	-1.3	0.92
	γ_2	0.248 \pm 0.0906	0.2 \pm 0.097	6.09	0.015	0.516	0.89	11.1	0.31	2.5	0.85
	γ_3	0.241 \pm 0.0966	0.2 \pm 0.097	4.83	0.03	0.394	0.96	12.4	0.26	5.8	0.65
	γ_4	0.25 \pm 0.0961	0.21 \pm 0.097	4.31	0.04	0.491	0.91	10.8	0.33	7.9	0.54
L Front - R Front	β_3	0.367 \pm 0.0834	0.36 \pm 0.083	0.0008	0.98	2.08	0.027	-5.52	0.62	-21	0.1
L Cent - R Cent	α_1	0.367 \pm 0.103	0.33 \pm 0.12	2.63	0.11	2.17	0.021	-12	0.28	-35	0.0053
	α_2	0.375 \pm 0.0979	0.34 \pm 0.12	2.95	0.089	2.61	0.0052	-9.55	0.39	-39	0.0018
	β_1	0.386 \pm 0.0896	0.35 \pm 0.11	4.19	0.043	2.56	0.006	-13.5	0.22	-34	0.0073
	β_2	0.383 \pm 0.0932	0.35 \pm 0.11	3.52	0.063	2.53	0.0067	-12.4	0.26	-29	0.023
	β_3	0.374 \pm 0.104	0.34 \pm 0.11	3.57	0.061	2.75	0.0033	-13.5	0.22	-28	0.026
	β_4	0.366 \pm 0.109	0.33 \pm 0.12	3.45	0.066	2.43	0.0091	-10.4	0.34	-24	0.056
	γ_1	0.344 \pm 0.118	0.31 \pm 0.12	3.14	0.079	2.17	0.021	-6.15	0.58	-17	0.18
L Par/Occ - R Par/Occ	β_4	0.252 \pm 0.0875	0.21 \pm 0.11	4.8	0.03	0.7	0.74	-2.28	0.84	4.6	0.72
	γ_1	0.246 \pm 0.096	0.21 \pm 0.1	4.68	0.033	0.667	0.77	2.69	0.81	8.7	0.5
	γ_2	0.234 \pm 0.1	0.19 \pm 0.1	4.71	0.032	0.723	0.72	4.24	0.7	14	0.28
L Front - R Cent	β_3	0.388 \pm 0.086	0.38 \pm 0.085	0.637	0.43	2.21	0.018	0.432	0.97	-27	0.033
L Front - R Temp	α_2	0.396 \pm 0.0734	0.37 \pm 0.08	1.93	0.17	2.06	0.029	-0.796	0.94	-37	0.0034
	β_1	0.404 \pm 0.0679	0.38 \pm 0.071	2.21	0.14	2.14	0.022	-5.5	0.62	-33	0.0085
	β_3	0.39 \pm 0.0751	0.37 \pm 0.082	1.26	0.26	2.37	0.011	0.359	0.97	-29	0.021
L Front - R Par/Occ	α_1	0.396 \pm 0.0819	0.36 \pm 0.09	4.63	0.033	0.965	0.48	-9.92	0.37	-17	0.18
	α_2	0.407 \pm 0.0819	0.37 \pm 0.08	5.99	0.016	1.35	0.21	-8.02	0.47	-21	0.11
	β_1	0.419 \pm 0.0706	0.39 \pm 0.076	6.71	0.011	1.56	0.12	-7.57	0.49	-18	0.15
	β_2	0.417 \pm 0.073	0.38 \pm 0.08	6.78	0.01	1.45	0.16	-9.2	0.41	-12	0.35
	β_3	0.41 \pm 0.0783	0.38 \pm 0.084	5.49	0.021	1.71	0.078	-4.81	0.66	-17	0.19
	β_4	0.401 \pm 0.0864	0.37 \pm 0.09	5.3	0.023	1.61	0.1	0.399	0.97	-15	0.23
L Cent - R Temp	α_2	0.382 \pm 0.0878	0.34 \pm 0.1	4.53	0.035	2.19	0.019	-10.8	0.33	-40	0.0014
	β_1	0.394 \pm 0.0803	0.35 \pm 0.092	7.62	0.0067	2.15	0.022	-11.7	0.29	-36	0.0041
	β_2	0.391 \pm 0.0835	0.35 \pm 0.091	6.1	0.015	2.16	0.021	-12.3	0.27	-32	0.01
	β_3	0.38 \pm 0.0908	0.34 \pm 0.097	5.28	0.023	2.58	0.0057	-11.8	0.29	-30	0.019
	β_4	0.369 \pm 0.0948	0.33 \pm 0.1	4.5	0.036	2.1	0.025	-5.49	0.62	-27	0.033
	γ_1	0.352 \pm 0.105	0.31 \pm 0.1	4.89	0.029	1.76	0.07	-2.83	0.8	-18	0.16
	γ_2	0.331 \pm 0.118	0.28 \pm 0.1	4.74	0.031	1.53	0.13	-1.17	0.92	-9.7	0.45
L Cent - R Par/Occ	δ	0.331 \pm 0.115	0.3 \pm 0.097	4.86	0.029	0.808	0.63	5.2	0.64	-5.8	0.66
	θ	0.36 \pm 0.104	0.32 \pm 0.1	5.06	0.026	1.15	0.33	-9.14	0.41	-21	0.1
	α_1	0.373 \pm 0.103	0.32 \pm 0.12	8.66	0.0039	1.55	0.12	-9.21	0.4	-22	0.083
	α_2	0.38 \pm 0.102	0.32 \pm 0.11	9.2	0.003	1.23	0.27	-9.77	0.38	-29	0.023
	β_1	0.39 \pm 0.0893	0.33 \pm 0.11	13.3	0.00039	1.57	0.11	-11.8	0.28	-24	0.066
	β_2	0.388 \pm 0.0935	0.33 \pm 0.11	11.5	0.00096	1.39	0.19	-13.5	0.22	-23	0.068
	β_3	0.38 \pm 0.0989	0.32 \pm 0.11	11.9	0.00079	1.5	0.14	-10.8	0.33	-22	0.088
	β_4	0.37 \pm 0.102	0.31 \pm 0.11	11.4	0.001	1.25	0.26	-6.76	0.54	-22	0.092
	γ_1	0.353 \pm 0.113	0.29 \pm 0.1	9.95	0.002	1.1	0.37	-0.18	0.99	-16	0.23
	γ_2	0.333 \pm 0.122	0.27 \pm 0.11	8.68	0.0039	0.896	0.55	1.16	0.92	-9.3	0.47
	γ_3	0.323 \pm 0.131	0.27 \pm 0.11	6.26	0.014	0.917	0.53	-0.307	0.98	-1.9	0.88
	γ_4	0.327 \pm 0.13	0.28 \pm 0.11	5.62	0.019	0.991	0.46	2.1	0.85	-2	0.88
L Temp - R Par/Occ	β_1	0.336 \pm 0.0823	0.3 \pm 0.092	5.39	0.022	1.1	0.37	-1.13	0.92	-10	0.42
	β_2	0.338 \pm 0.0882	0.3 \pm 0.097	5.51	0.021	0.944	0.5	-0.492	0.96	-8.2	0.53
	β_3	0.329 \pm 0.0909	0.29 \pm 0.094	5.83	0.017	0.984	0.46	-0.194	0.99	-7.7	0.55
	β_4	0.33 \pm 0.0922	0.28 \pm 0.095	7.99	0.0055	0.855	0.59	5.82	0.6	-6.8	0.6
	γ_1	0.319 \pm 0.104	0.27 \pm 0.094	7.34	0.0078	0.81	0.63	12.2	0.27	-0.68	0.96
	γ_2	0.301 \pm 0.111	0.25 \pm 0.097	6.83	0.01	0.645	0.79	11.6	0.29	4	0.76
	γ_3	0.294 \pm 0.122	0.24 \pm 0.1	4.96	0.028	0.633	0.8	13.1	0.23	8.9	0.49
R Cent - L Temp	β_1	0.392 \pm 0.08	0.36 \pm 0.095	5.85	0.017	1.43	0.17	1.44	0.9	-16	0.23
	β_2	0.391 \pm 0.0841	0.35 \pm 0.1	5.5	0.021	1.52	0.13	3.21	0.77	-10	0.44
	β_3	0.379 \pm 0.0912	0.35 \pm 0.1	3.94	0.049	1.96	0.038	1.94	0.86	-13	0.32
	β_4	0.369 \pm 0.0949	0.34 \pm 0.1	4.85	0.03	1.79	0.063	2.86	0.8	-9.5	0.46

R Cent - L Par/Occ	$\beta 1$	0.39 ± 0.0848	0.34 ± 0.12	6.99	0.0093	1.6	0.11	-6.13	0.58	-16	0.21
	$\beta 2$	0.389 ± 0.0891	0.34 ± 0.12	6.78	0.01	1.22	0.28	-2.77	0.8	-13	0.31
	$\beta 3$	0.381 ± 0.0973	0.34 ± 0.13	4.65	0.033	1.46	0.15	-2.48	0.82	-15	0.24
	$\beta 4$	0.375 ± 0.103	0.33 ± 0.13	5.33	0.023	1.26	0.26	-0.0193	1	-13	0.33
	$\gamma 1$	0.357 ± 0.112	0.31 ± 0.13	4.62	0.034	1.18	0.31	4.19	0.71	-8.4	0.51
R Temp - L Par/Occ	$\beta 2$	0.346 ± 0.089	0.31 ± 0.098	4.36	0.039	1.19	0.3	-10.8	0.33	-14	0.29
	$\beta 4$	0.338 ± 0.0954	0.3 ± 0.1	4.61	0.034	1.17	0.32	-5.1	0.65	-10	0.42
	$\gamma 1$	0.326 ± 0.106	0.28 ± 0.1	4.74	0.031	0.974	0.47	-0.92	0.93	-4.7	0.72
	$\gamma 2$	0.306 ± 0.114	0.26 ± 0.1	4.89	0.029	0.896	0.55	0.788	0.94	2	0.88

Table S9. Comparison of boys and girls magnitude of **Phase Synchrony** during **Eyes Open** condition.

Significant Sex Factor		Significant Age Factor						
Eyes Open	Phase Coherency			ANOVA			Correlation with Age	
	Freq.	Male	Female				Boys	Girls
Lobes		Mean ± Std	Mean ± Std					
L Front - L Temp	δ	0.302 ± 0.0848	0.27 ± 0.088	4.89	0.029	0.502	0.9	17 0.12 -3.4 0.79
	θ	0.324 ± 0.072	0.29 ± 0.082	4.63	0.033	0.395	0.96	3.25 0.77 -1.2 0.93
	α1	0.331 ± 0.0718	0.29 ± 0.085	5.73	0.018	0.462	0.92	1.81 0.87 -11 0.38
	α2	0.338 ± 0.0711	0.3 ± 0.085	7.08	0.0089	0.609	0.82	9.85 0.37 -16 0.21
	β1	0.345 ± 0.07	0.3 ± 0.081	8.82	0.0036	0.811	0.63	4.32 0.7 -16 0.2
	β2	0.341 ± 0.0745	0.3 ± 0.086	7.56	0.0069	0.722	0.72	6.34 0.57 -9.1 0.48
	β3	0.329 ± 0.0781	0.29 ± 0.086	5.68	0.019	0.684	0.75	6.53 0.56 -12 0.36
	β4	0.323 ± 0.0831	0.28 ± 0.087	5.29	0.023	0.598	0.83	16.6 0.13 -12 0.37
	γ1	0.317 ± 0.0892	0.28 ± 0.089	4.36	0.039	0.596	0.83	20.7 0.059 -8.4 0.52
L Front - L Par/Occ	δ	0.355 ± 0.097	0.32 ± 0.091	6.11	0.015	0.653	0.78	2.33 0.83 -8.7 0.5
	θ	0.375 ± 0.0844	0.35 ± 0.087	4.4	0.038	1.12	0.35	-8.74 0.43 -21 0.11
	α1	0.386 ± 0.0796	0.35 ± 0.098	6.48	0.012	1.21	0.29	-5.53 0.62 -21 0.096
	α2	0.39 ± 0.0781	0.35 ± 0.091	8.77	0.0037	1.42	0.17	-1.3 0.91 -29 0.025
	β1	0.396 ± 0.0756	0.35 ± 0.086	11.5	0.00096	1.65	0.094	-9.81 0.37 -25 0.051
	β2	0.393 ± 0.0784	0.35 ± 0.09	10.7	0.0014	1.61	0.1	-10 0.37 -19 0.14
	β3	0.382 ± 0.0832	0.34 ± 0.093	8.16	0.0051	1.68	0.087	-9.65 0.38 -23 0.077
	β4	0.378 ± 0.089	0.33 ± 0.096	8.23	0.0049	1.37	0.19	-1.87 0.87 -18 0.15
	γ1	0.369 ± 0.0943	0.33 ± 0.097	5.82	0.017	1.3	0.23	3.1 0.78 -16 0.21
	γ2	0.358 ± 0.102	0.32 ± 0.1	4.99	0.027	0.937	0.51	4.66 0.67 -8.2 0.52
L Cent - L Temp	δ	0.25 ± 0.0889	0.21 ± 0.081	6.15	0.015	0.52	0.89	3.44 0.76 13 0.33
	θ	0.252 ± 0.0766	0.21 ± 0.083	6.95	0.0095	0.617	0.81	-9.55 0.39 6.9 0.59
	α1	0.251 ± 0.0725	0.2 ± 0.084	10.5	0.0015	0.684	0.75	-7.81 0.48 -2.1 0.87
	α2	0.263 ± 0.0723	0.21 ± 0.085	16.7	8e-05	0.629	0.8	-15 0.17 -7 0.59
	β1	0.273 ± 0.0683	0.22 ± 0.08	18.3	3.9e-05	0.488	0.91	-15 0.17 -7.4 0.57
	β2	0.269 ± 0.0727	0.21 ± 0.081	17.8	4.8e-05	0.826	0.61	-13.5 0.22 -5.9 0.65
	β3	0.263 ± 0.0752	0.21 ± 0.08	14.5	0.00022	0.647	0.79	-12 0.28 -5.8 0.65
	β4	0.266 ± 0.0811	0.21 ± 0.081	14.1	0.00027	0.579	0.84	-4.04 0.71 -8 0.54
	γ1	0.266 ± 0.0888	0.21 ± 0.078	13.3	0.00039	0.601	0.82	2.89 0.79 -4.1 0.75
	γ2	0.267 ± 0.0939	0.2 ± 0.08	14.4	0.00024	0.462	0.92	2.29 0.84 2.3 0.86
	γ3	0.264 ± 0.102	0.2 ± 0.083	11.9	0.00076	0.366	0.97	1.08 0.92 8 0.54
	γ4	0.272 ± 0.102	0.21 ± 0.081	11.8	0.00082	0.276	0.99	5.78 0.6 11 0.41
L Cent - L Par/Occ	α1	0.277 ± 0.0754	0.23 ± 0.11	11.4	0.001	0.851	0.59	-5.12 0.64 -23 0.076
	α2	0.286 ± 0.0741	0.24 ± 0.11	13.2	0.00041	1.16	0.32	-9.28 0.4 -31 0.013
	β1	0.298 ± 0.0695	0.24 ± 0.1	17.3	6e-05	1.14	0.34	-8.27 0.45 -30 0.017
	β2	0.292 ± 0.0732	0.24 ± 0.11	13.1	0.00043	1.2	0.3	-9.23 0.4 -27 0.035
	β3	0.287 ± 0.0775	0.24 ± 0.1	12.8	0.00051	1.24	0.27	-9.15 0.41 -27 0.034
	β4	0.288 ± 0.0813	0.23 ± 0.11	13.8	0.0003	0.927	0.52	-2.83 0.8 -26 0.041
	γ1	0.286 ± 0.0893	0.23 ± 0.1	12.4	0.00061	0.832	0.61	2.99 0.79 -22 0.093
	γ2	0.281 ± 0.093	0.22 ± 0.099	12.4	0.00061	0.663	0.77	1.59 0.89 -15 0.25
	γ3	0.276 ± 0.104	0.22 ± 0.1	8.87	0.0035	0.736	0.7	-1.23 0.91 -12 0.36
	γ4	0.282 ± 0.104	0.22 ± 0.1	10.1	0.0019	0.633	0.8	2.58 0.82 -6.9 0.59
L Temp - L Par/Occ	β4	0.239 ± 0.0785	0.2 ± 0.081	4.43	0.037	0.495	0.9	9.08 0.41 0.63 0.96
	γ1	0.244 ± 0.0858	0.21 ± 0.082	4.68	0.033	0.367	0.97	13.8 0.21 4.3 0.74
	γ2	0.244 ± 0.0888	0.2 ± 0.085	4.92	0.028	0.281	0.99	16 0.15 10 0.43
R Front - R Temp	θ	0.336 ± 0.0738	0.3 ± 0.074	6.68	0.011	0.747	0.69	7.77 0.48 -12 0.35
	α1	0.341 ± 0.0697	0.29 ± 0.075	10.5	0.0016	1.29	0.24	0.056 1 -18 0.17
	α2	0.347 ± 0.0649	0.31 ± 0.074	7.31	0.0078	0.993	0.46	4.04 0.72 -27 0.035
	β1	0.357 ± 0.0637	0.31 ± 0.075	11.8	0.00083	1.56	0.12	8.68 0.43 -25 0.049
	β2	0.355 ± 0.066	0.31 ± 0.077	11.4	0.001	1.28	0.25	9.45 0.39 -16 0.21
	β3	0.346 ± 0.0701	0.3 ± 0.078	10.2	0.0018	0.947	0.5	9.48 0.39 -15 0.24
	β4	0.335 ± 0.0739	0.29 ± 0.077	6.98	0.0093	0.879	0.56	10 0.36 -17 0.19
	γ1	0.325 ± 0.0812	0.28 ± 0.083	6.36	0.013	0.758	0.68	14.7 0.18 -15 0.25
	γ2	0.315 ± 0.0866	0.27 ± 0.086	5.52	0.02	0.625	0.8	13.8 0.21 -8.2 0.53
	γ3	0.306 ± 0.0942	0.26 ± 0.091	4.73	0.032	0.47	0.92	10.2 0.36 -5.7 0.66
R Front - R Par/Occ	β1	0.408 ± 0.071	0.37 ± 0.078	4.56	0.035	1.31	0.23	-8.81 0.43 -18 0.16

	$\beta 2$	0.404 ± 0.0761	0.37 ± 0.082	4.69	0.032	1.1	0.37	-3.9	0.72	-5.8	0.66
R Cent - R Temp	$\alpha 1$	0.251 ± 0.0761	0.21 ± 0.089	5.42	0.022	0.526	0.88	-4.93	0.66	-9.5	0.46
	$\alpha 2$	0.259 ± 0.0682	0.22 ± 0.09	5.95	0.016	0.405	0.95	-4.78	0.67	-16	0.22
	$\beta 1$	0.276 ± 0.064	0.23 ± 0.082	11.2	0.0011	0.625	0.8	-2.62	0.81	-13	0.31
	$\beta 2$	0.272 ± 0.0655	0.23 ± 0.085	8.57	0.0041	0.67	0.76	2.06	0.85	-11	0.39
	$\beta 3$	0.268 ± 0.0709	0.23 ± 0.087	7.68	0.0065	0.483	0.91	1.38	0.9	-7.5	0.56
	$\beta 4$	0.269 ± 0.075	0.23 ± 0.085	7.77	0.0062	0.528	0.88	7.73	0.48	-4.5	0.73
	$\gamma 1$	0.265 ± 0.0809	0.22 ± 0.087	6.74	0.011	0.549	0.87	9.65	0.38	-5	0.7
	$\gamma 2$	0.262 ± 0.0852	0.22 ± 0.089	6.79	0.01	0.456	0.93	7.56	0.49	-1	0.94
	$\gamma 3$	0.257 ± 0.0942	0.21 ± 0.094	5.35	0.022	0.407	0.95	7.13	0.52	2.7	0.83
	$\gamma 4$	0.264 ± 0.0937	0.22 ± 0.095	4.7	0.032	0.44	0.93	6.44	0.56	4.8	0.71
R Cent - R Par/Occ	$\beta 1$	0.308 ± 0.0661	0.27 ± 0.1	4.51	0.036	0.66	0.77	4.74	0.67	-11	0.41
L Cent - R Cent	$\alpha 2$	0.385 ± 0.0926	0.35 ± 0.11	4.3	0.04	2.16	0.021	-11.5	0.3	-40	0.0013
	$\beta 1$	0.387 ± 0.0935	0.35 ± 0.11	5.56	0.02	2.42	0.0093	-11.3	0.31	-33	0.0099
	$\beta 2$	0.382 ± 0.0984	0.35 ± 0.11	2.94	0.089	2.49	0.0076	-10.3	0.35	-32	0.012
	$\beta 3$	0.372 ± 0.107	0.34 ± 0.11	3.18	0.077	2.38	0.011	-13.9	0.21	-32	0.012
	$\beta 4$	0.367 ± 0.111	0.34 ± 0.11	3.1	0.081	2.07	0.028	-9.45	0.39	-26	0.041
L Par/Occ - R Par/Occ	$\beta 4$	0.25 ± 0.086	0.21 ± 0.1	5.37	0.022	1.08	0.38	-8.64	0.43	4.3	0.74
	$\gamma 1$	0.252 ± 0.0923	0.22 ± 0.1	4.99	0.027	0.75	0.69	-2.16	0.85	8.3	0.52
L Front - R Par/Occ	δ	0.37 ± 0.0972	0.34 ± 0.089	4.44	0.037	0.922	0.52	7.66	0.49	-8.2	0.53
	$\alpha 2$	0.414 ± 0.0754	0.39 ± 0.075	4.41	0.038	1.13	0.34	-1.84	0.87	-31	0.014
	$\beta 1$	0.421 ± 0.0701	0.39 ± 0.076	7.59	0.0068	1.5	0.14	-1.66	0.88	-16	0.23
	$\beta 2$	0.418 ± 0.0736	0.39 ± 0.078	5.86	0.017	1.29	0.24	-2.89	0.79	-12	0.34
	$\beta 3$	0.407 ± 0.0794	0.38 ± 0.085	4.5	0.036	1.43	0.17	-3.14	0.78	-20	0.11
	$\beta 4$	0.402 ± 0.0853	0.37 ± 0.092	4.68	0.033	1.36	0.2	1.81	0.87	-18	0.15
L Cent - R Temp	$\alpha 1$	0.38 ± 0.0874	0.34 ± 0.1	5.03	0.027	1.85	0.053	-12	0.28	-40	0.0013
	$\alpha 2$	0.394 ± 0.0835	0.35 ± 0.098	5.65	0.019	2.01	0.034	-14.9	0.17	-44	0.00039
	$\beta 1$	0.392 ± 0.0824	0.35 ± 0.095	5.89	0.017	2.37	0.011	-10.1	0.36	-35	0.0051
	$\beta 2$	0.387 ± 0.0863	0.36 ± 0.095	2.78	0.098	2.09	0.026	-14.5	0.19	-34	0.007
	$\beta 3$	0.376 ± 0.092	0.34 ± 0.099	4.29	0.041	2.04	0.03	-9.94	0.37	-35	0.0053
L Cent - R Par/Occ	θ	0.354 ± 0.0995	0.32 ± 0.099	4.48	0.036	0.882	0.56	-5.95	0.59	-26	0.04
	$\alpha 1$	0.379 ± 0.0949	0.33 ± 0.11	9.4	0.0027	1.1	0.37	-10.9	0.32	-25	0.049
	$\alpha 2$	0.389 ± 0.0949	0.34 ± 0.11	10.6	0.0015	1.23	0.27	-8.85	0.42	-33	0.009
	$\beta 1$	0.392 ± 0.0895	0.34 ± 0.11	13.2	0.00041	1.48	0.15	-7.66	0.49	-23	0.071
	$\beta 2$	0.383 ± 0.0939	0.33 ± 0.11	9.09	0.0031	1.24	0.27	-12.3	0.26	-24	0.056
	$\beta 3$	0.374 ± 0.0999	0.32 ± 0.11	9.16	0.003	1.39	0.19	-10.5	0.34	-28	0.03
	$\beta 4$	0.371 ± 0.105	0.31 ± 0.11	9.89	0.0021	1.23	0.27	-6.87	0.53	-27	0.033
	$\gamma 1$	0.361 ± 0.111	0.31 ± 0.1	7.91	0.0058	1.02	0.43	-3.37	0.76	-18	0.15
	$\gamma 2$	0.351 ± 0.116	0.29 ± 0.1	9.51	0.0025	0.912	0.53	-2.6	0.81	-11	0.4
	$\gamma 3$	0.339 ± 0.125	0.29 ± 0.1	6.67	0.011	0.798	0.64	-4.54	0.68	-5	0.7
	$\gamma 4$	0.339 ± 0.124	0.29 ± 0.1	5.48	0.021	0.723	0.71	-1.68	0.88	-1.7	0.89
L Temp - R Par/Occ	$\beta 1$	0.343 ± 0.0844	0.3 ± 0.095	5.71	0.018	0.993	0.46	4.66	0.67	-13	0.3
	$\beta 2$	0.334 ± 0.0868	0.3 ± 0.096	4.4	0.038	0.91	0.53	-0.273	0.98	-7.6	0.56
	$\beta 4$	0.33 ± 0.0948	0.28 ± 0.096	7.3	0.0079	0.747	0.69	4.87	0.66	-8.5	0.51
	$\gamma 1$	0.328 ± 0.105	0.28 ± 0.099	6.24	0.014	0.744	0.69	8.98	0.42	-1.8	0.89
	$\gamma 2$	0.318 ± 0.107	0.27 ± 0.096	6.54	0.012	0.636	0.8	9.14	0.41	3.2	0.8
R Cent - L Temp	$\alpha 2$	0.391 ± 0.0914	0.36 ± 0.1	4.68	0.032	1.15	0.33	1.85	0.87	-24	0.065
	$\beta 1$	0.395 ± 0.0822	0.36 ± 0.098	7.44	0.0074	1.56	0.12	3.46	0.75	-18	0.16
	$\beta 2$	0.387 ± 0.0892	0.36 ± 0.1	4.46	0.037	1.65	0.095	1.76	0.87	-14	0.27
R Cent - L Par/Occ	$\alpha 2$	0.385 ± 0.0939	0.34 ± 0.12	6.17	0.014	1.45	0.16	-9.42	0.39	-21	0.095
	$\beta 1$	0.391 ± 0.0881	0.34 ± 0.12	7.34	0.0077	1.33	0.22	-1.78	0.87	-19	0.14
	$\beta 2$	0.391 ± 0.0938	0.34 ± 0.12	6.65	0.011	1.2	0.29	-1.73	0.88	-13	0.31
	$\beta 3$	0.374 ± 0.0986	0.33 ± 0.13	4.85	0.03	1.39	0.19	-4.59	0.68	-17	0.19
	$\beta 4$	0.374 ± 0.105	0.33 ± 0.13	4.82	0.03	1.24	0.27	-1.8	0.87	-15	0.25
R Temp - L Par/Occ	$\beta 4$	0.335 ± 0.0935	0.3 ± 0.1	4.43	0.037	0.991	0.46	-8.84	0.42	-10	0.44

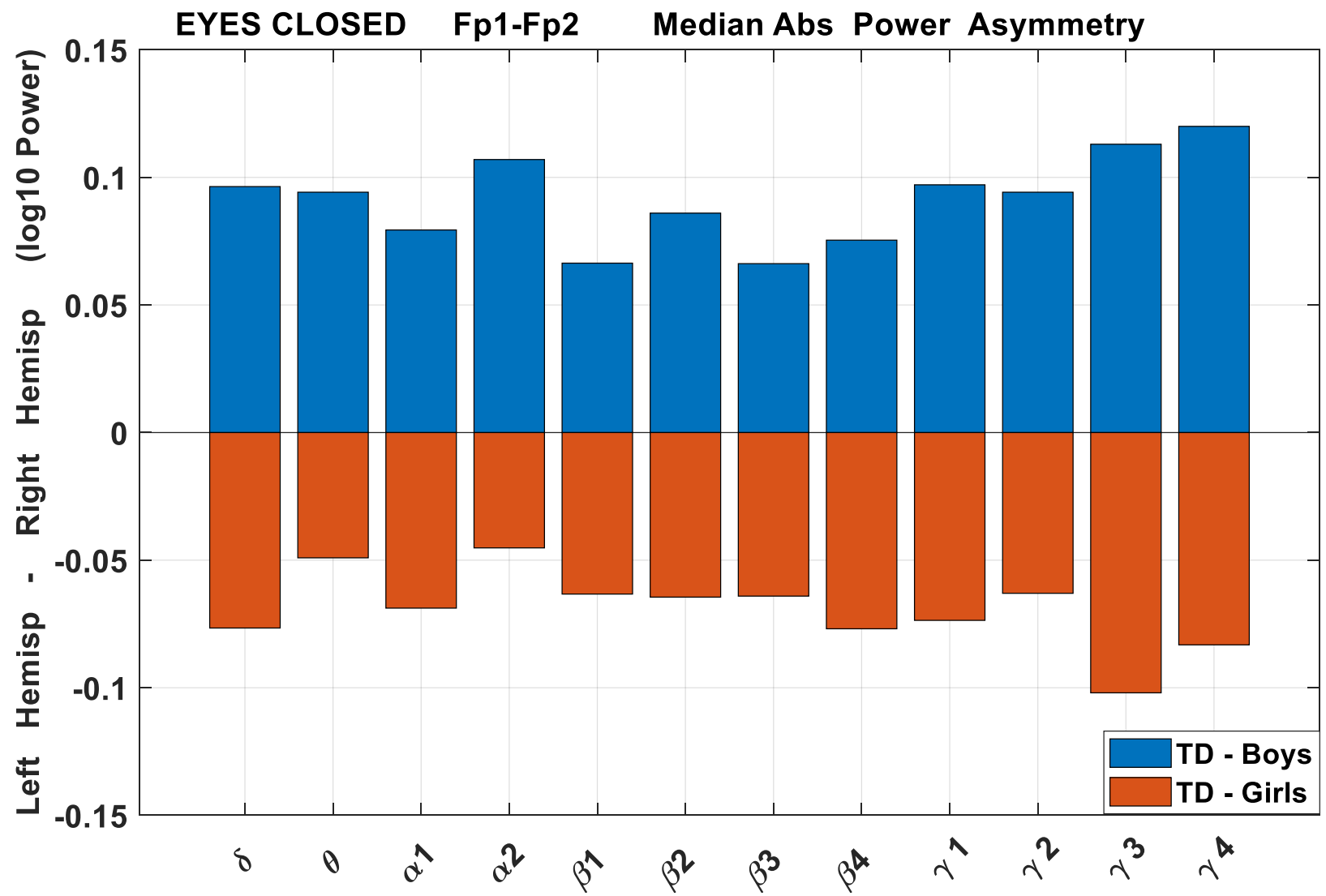


Figure S1. Comparison of median absolute power asymmetry at the frontal site (Fp1 – Fp2) between boys and girls

Figure S-2:Difference inf median absolute Spectral Power (log10) in 3 age bins for the EEG channels and δ , θ , α_1 , α_2 , β_1 , and β_2 frequency bands.

Bin 1: 7-9 Years; n: Boys=37, Girls=27; Bin 2: 10-12 Years n: Boys=17, Girls=11;

Bin 3: 13-16 Years n: Boys=14, Girls=13; * indicated sig at p < .05

The figures are in a heat map style with a colormap that shows the hotter colors (brown and yellow) correspond to a positive value for the difference of girls minus boys (i.e., girls > boys), and the light green and blue (cooler colors) correspond to a negative value for the difference girls minus boys (i.e., boys > girls).

